

# КОНЕЧНО-ЧАСТОТНАЯ ИДЕНТИФИКАЦИЯ: САМОНАСТРОЙКА ИСПЫТАТЕЛЬНОГО СИГНАЛА

Александров А.Г.

В работе предлагается алгоритм самонастройки амплитуд и частот испытательных гармоник в процессе идентификации. Приводится пример, демонстрирующий эффективность предложенного алгоритма.

## 1 Введение

Процесс идентификации одномерного линейного объекта протекает при двух входах: измеряемом и неизмеряемом. Неизмеряемый вход – это неизвестное внешнее возмущение. Измеряемый вход может быть управляемым либо неуправляемым. Управляемый вход называется испытательным (тестовым) сигналом. Испытательный сигнал определяется (строится) до начала идентификации (на этапе планирования эксперимента [1]) на основе априорной информации о параметрах объекта и внешнем возмущении. Вид испытательного сигнала существенно влияет на точность и длительность идентификации.

При идентификации с помощью метода наименьших квадратов (МНК) предполагается, что внешнее возмущение – случайный процесс типа «белый шум», и испытательный сигнал строится исходя из знаний о параметрах объекта. В методе инструментальных переменных [1] и при использовании рандомизированных алгоритмов идентификации [2] внешнее возмущение – почти произвольная функция, и поэтому на испытательный сигнал накладывается дополнительное ограничение: он должен быть некоррелирован с внешним возмущением. Это условие трудно выполнить априори, так как внешнее возмущение неизвестно и неизмеряемо.

В методе конечно-частотной идентификации [3] испытательный сигнал имеет определённую структуру: это сумма гармоник, число которых не превышает размерность вектора пространства состояний объекта. Его некоррелированность с внешним возмущением проверяется в процессе идентификации, если амплитуды и частоты испытательных гармоник известны. Интуитивно ясно, что испытательные частоты нужно выбирать из диапазона частот, в котором логарифмическая амплитудно-частотная характеристика объекта имеет изломы. Эти изломы определяются неизвестными параметрами объекта. В работе [4] предложен метод экспериментальной оценки (в процессе идентификации) границ этого диапазона, что даёт возможность построить алгоритм самонастройки амплитуд и частот испытательных гармоник в процессе идентификации, который и предлагается в настоящей работе.

Статья построена следующим образом. Вначале описывается метод конечно-частотной идентификации. Затем (в разделе 3) формулируются задачи самонастройки амплитуд и частот испытательного сигнала. В разделе 4 показано, что, если испытательные частоты выбираются вне указанного в [4] диапазона частот, то точность идентификации может быть низкой. Разделы 5 и 6 посвящены алгоритмам самонастройки испытательного сигнала. Пример раздела 7 показывает эффективность этих алгоритмов.

## 2 Метод конечно-частотной идентификации

### 2.1 Задача идентификации

Рассмотрим полностью управляемый объект, описываемый уравнением

$$d_n y^{(n)} + d_{n-1} y^{(n-1)} + \dots + d_1 \dot{y} + d_0 y = k_\gamma u^{(\gamma)} + \dots + k_1 \dot{u} + k_0 u + f, \quad t \geq t_0, \quad (2.1)$$

где  $y(t)$  – измеряемый выход;  $u(t)$  – управляемый вход;  $y^{(i)}$ ,  $u^{(j)}$  ( $i = \overline{1, n}$ ,  $j = \overline{1, \gamma}$ ) – производные этих функций;  $f(t)$  – неизвестное ограниченное возмущение. Коэффициенты  $d_i$ ,  $k_j$  ( $i = \overline{1, n}$ ,  $j = \overline{0, \gamma}$ ) – неизвестные числа ( $d_0 = 1$ , если не оговорено противное,  $k_0 \neq 0$ ),  $n$  и  $\gamma$  – известны,  $\gamma < n$ .

Начальные условия  $y^{(i)}(t_0)$  и возмущение  $f(t)$  удовлетворяют неравенствам

$$|y^{(i)}(t_0)| \leq \varepsilon_0 \quad i = \overline{0, n-1}, \quad |f(t)| \leq f^*, \quad (2.2)$$

где  $\varepsilon_0$  и  $f^*$  – некоторые числа.

Задача идентификации состоит в том, чтобы найти оценки  $\hat{d}_i$ ,  $\hat{k}_j$  ( $i = \overline{1, n}$ ,  $j = \overline{0, \gamma}$ ) коэффициентов объекта, такие, чтобы относительные ошибки идентификации удовлетворяли требованиям

$$\hat{d}_i \div d_i \leq \varepsilon_i^d, \quad \hat{k}_j \div k_j \leq \varepsilon_j^k \quad i = \overline{1, n} \quad j = \overline{0, \gamma}, \quad (2.3)$$

в которых  $\varepsilon_i^d$  и  $\varepsilon_j^k$  ( $i = \overline{1, n}$ ,  $j = \overline{0, \gamma}$ ) – заданные числа, а « $\div$ » – символ отношения:  $a \div b = |a - b|/|b|$  если  $b \neq 0$  либо  $a \div b = |a|$  если  $b = 0$ .

### 2.2 Частотные параметры

Конечно-частотная идентификация опирается на понятие частотных параметров [3], которые определяются как набор  $2n$  чисел

$$\alpha_k = \operatorname{Re} w(s_k), \quad \beta_k = \operatorname{Im} w(s_k) \quad k = \overline{1, n}, \quad (2.4)$$

где  $w(s) = k(s)/d(s)$  – передаточная функция объекта,  $s_k = \lambda + j\omega_k$  ( $k = \overline{1, n}$ ),  $\lambda > C_0 > s^* > 0$ ,  $s^* = \max\{\operatorname{Re} s_1^*, \operatorname{Re} s_2^*, \dots, \operatorname{Re} s_n^*\}$  – степень неустойчивости объекта,  $s_k^*$  ( $k = \overline{1, n}$ ) – корни полинома  $d(s) = d_n s^n + d_{n-1} s^{n-1} + \dots + d_1 s + 1$ ,  $C_0$  – верхняя оценка степени неустойчивости (для асимптотически устойчивых объектов можно принимать  $\lambda = 0$ ).

Оценки  $\hat{\alpha}_k$  и  $\hat{\beta}_k$  ( $k = \overline{1, n}$ ) частотных параметров находятся экспериментально. В случае асимптотически устойчивого объекта он возбуждается испытательным сигналом

$$u(t) = \sum_{k=1}^n \rho_k \sin \omega_k(t - t_0), \quad t \geq t_0, \quad (2.5)$$

амплитуды  $\rho_k$  и испытательные частоты  $\omega_k$  ( $k = \overline{1, n}$ ) которого – заданные положительные числа;  $\omega_k$  кратны базовой частоте  $\omega_\delta$ :  $\omega_k = n_k \omega_\delta$ , где  $n_k$  ( $k = \overline{1, n}$ ) – целые числа.

Выход объекта, возбуждённого испытательным сигналом (2.5), прикладывается к фильтру Фурье:

$$\begin{aligned}\hat{\alpha}_k &= \alpha_k(\tau) = \frac{2}{\rho_k \tau} \int_{t_F}^{t_F+\tau} y(t) \sin \omega_k(t-t_0) dt \\ \hat{\beta}_k &= \beta_k(\tau) = \frac{2}{\rho_k \tau} \int_{t_F}^{t_F+\tau} y(t) \cos \omega_k(t-t_0) dt\end{aligned}\quad k = \overline{1, n}, \quad (2.6)$$

где  $t_F$  – момент начала фильтрации  $t_F \geq t_0$ ;  $\tau$  – время фильтрации, которое кратно базовому периоду  $T_\delta = 2\pi/\omega_\delta$  и поэтому  $\tau = qT_\delta$  ( $q = 1, 2, \dots$ );  $t_F - t_0$  – время, по истечении которого можно пренебречь влиянием начальных условий.

Чтобы сформулировать для асимптотически устойчивых объектов условия сходимости оценок к истинным значениям, введём функции фильтруемости [6]:

$$\ell_k^\alpha(\tau) = \frac{2}{\rho_k \tau} \int_{t_F}^{t_F+\tau} \bar{y}(t) \sin \omega_k(t-t_0) dt, \quad \ell_k^\beta(\tau) = \frac{2}{\rho_k \tau} \int_{t_F}^{t_F+\tau} \bar{y}(t) \cos \omega_k(t-t_0) dt \quad k = \overline{1, n}, \quad (2.7)$$

в которых  $\bar{y}(t)$  – «естественный» выход объекта, когда испытательный сигнал отсутствует [ $u(t) = 0$ ].

**Утверждение 1 [5]** *Если возмущение  $f(t)$  таково, что, начиная с некоторого момента  $\tau = \tau^*$ , выполняются условия*

$$|\ell_k^\alpha(\tau)| \leq \varepsilon_k^\alpha, \quad |\ell_k^\beta(\tau)| \leq \varepsilon_k^\beta \quad k = \overline{1, n}, \quad \tau \geq \tau^*, \quad (2.8)$$

в которых  $\varepsilon_k^\alpha$  и  $\varepsilon_k^\beta$  ( $k = \overline{1, n}$ ) – заданные числа, то существует момент  $\tau = \tau^{**} \geq \tau^*$  такой, что ошибки фильтрации  $\Delta\alpha_k(\tau) = \hat{\alpha}_k - \alpha_k$  и  $\Delta\beta_k(\tau) = \hat{\beta}_k - \beta_k$  ( $k = \overline{1, n}$ ) удовлетворяют неравенствам

$$|\Delta\alpha_k(\tau)| \leq \varepsilon_k^\alpha, \quad |\Delta\beta_k(\tau)| \leq \varepsilon_k^\beta \quad k = \overline{1, n}, \quad \tau \geq \tau^{**}. \quad (2.9)$$

Возмущение, удовлетворяющее условиям (2.8), называется [6] ФФ-фильтруемым на заданном наборе испытательных частот.

Если объект неустойчив, то он возбуждается испытательным сигналом

$$u(t) = e^{\lambda(t-t_0)} \sum_{k=1}^n \rho_k \sin \omega_k(t-t_0), \quad t \geq t_0, \quad (2.10)$$

а оценки его частотных параметров находятся как выходы модифицированного фильтра Фурье:

$$\begin{aligned}\hat{\alpha}_k &= \alpha_k(\tau) = \frac{2}{\rho_k \tau} \int_{t_F}^{t_F+\tau} y(t) e^{-\lambda(t-t_0)} \sin \omega_k(t-t_0) dt \\ \hat{\beta}_k &= \beta_k(\tau) = \frac{2}{\rho_k \tau} \int_{t_F}^{t_F+\tau} y(t) e^{-\lambda(t-t_0)} \cos \omega_k(t-t_0) dt\end{aligned}\quad k = \overline{1, n}. \quad (2.11)$$

**Утверждение 2 [3]** *Оценки (2.11) сходятся к частотным параметрам (2.4) при любых ограниченных возмущениях:*

$$\lim_{\tau \rightarrow \infty} \alpha_k(\tau) = \alpha_k, \quad \lim_{\tau \rightarrow \infty} \beta_k(\tau) = \beta_k.$$

## 2.3 Частотные уравнения и алгоритм идентификации

Используя оценки частотных параметров, можно найти оценки коэффициентов объекта. Действительно, из тождества  $w(s) = k(s)/d(s)$  и выражений (2.4) следует система линейных алгебраических уравнений

$$k(s_k) - (\alpha_k + j\beta_k)d^*(s_k) = \alpha_k + j\beta_k \quad k = \overline{1, n}, \quad (2.12)$$

где  $d^*(s) = d(s) - 1 = d_n s^n + \dots + d_1 s$  и  $k(s) = k_\gamma s^\gamma + \dots + k_1 s + k_0$ .

**Утверждение 3** [3], [4] *При полностью управляемом объекте, система (2.12) имеет единственное решение:  $d_i$  и  $k_j$  ( $i = \overline{1, n}$ ,  $j = \overline{0, \gamma}$ ), не зависящее от выбора  $\lambda$  и  $\omega_k$  [ $\omega_k \neq 0$  ( $k = \overline{1, n}$ ),  $|\omega_i| \neq |\omega_j|$  ( $i \neq j$ )].*

Заменяя в уравнениях (2.12)  $\alpha_k$  и  $\beta_k$  ( $k = \overline{1, n}$ ) их оценками, получим частотные уравнения идентификации [4]

$$\hat{k}(s_k) - (\hat{\alpha}_k + j\hat{\beta}_k)\hat{d}^*(s_k) = \hat{\alpha}_k + j\hat{\beta}_k \quad k = \overline{1, n}. \quad (2.13)$$

Для  $s_k = j\omega_k$  ( $k = \overline{1, n}$ ) эти уравнения приведены в приложении П.1.

Длительность фильтрации  $\tau^* = q^*T_\delta$  определяется [5] из следующих необходимых условий сходимости идентификации:  $q^*$  – положительное целое число, такое, что для любого целого  $q \geq q^*$

$$d_i[(q-1)T_\delta] \div d_i(qT_\delta) \leq \varepsilon_i^d, \quad k_j[(q-1)T_\delta] \div k_j(qT_\delta) \leq \varepsilon_j^k \quad i = \overline{1, n} \quad j = \overline{0, \gamma}. \quad (2.14)$$

**Алгоритм 1 (конечно-частотной идентификации)** состоит из операций: приложить к объекту (2.1) испытательный сигнал (2.5) либо (2.10); измерить выходы фильтра Фурье (2.6) либо (2.11) в момент времени  $\tau = qT_\delta$  ( $q = 1, 2, \dots$ ); решить частотные уравнения (2.13) для каждого из этих моментов и найти оценки  $d_i(qT_\delta)$ ,  $k_j(qT_\delta)$  ( $i = \overline{1, n}$ ,  $j = \overline{0, \gamma}$ ); проверять необходимые условия (2.14) для каждого  $q$ , до тех пор, пока эти условия не выполняются для некоторого  $q = q^*$ . ■

Чтобы проверить, что оценки  $\hat{d}_i = d_i(q^*T_\delta)$  и  $\hat{k}_j = k_j(q^*T_\delta)$  ( $i = \overline{1, n}$ ,  $j = \overline{0, \gamma}$ ) удовлетворяют требованиям (2.3), используются частотные методы подтверждения модели [7].

**Примечание 1** Идентификация неустойчивых объектов затруднена из-за ограниченного входа объекта:

$$|u(t)| \leq u^*, \quad (2.15)$$

где  $u^*$  – заданное число.

Неравенство (2.15) ограничивает время идентификации  $\delta = \tau$  числом

$$\delta_\varepsilon \leq \frac{1}{\lambda} \ln \frac{u^*}{\rho_{\max} \varepsilon}, \quad (2.16)$$

где  $\rho_{\max} = \max\{\rho_1, \rho_2, \dots, \rho_n\}$ .

Если цель идентификации (2.3) не достигается за время  $\delta_\varepsilon$ , то испытательный сигнал формируем [6] как выход стабилизирующей обратной связи, описываемой уравнением

$$g_{n-1}u^{(n-1)} + \dots + g_1\dot{u} + g_0u = r_{n-1}y^{(n-1)} + \dots + r_1\dot{y} + r_0y + v, \quad (2.17)$$

в котором числа  $g_i, r_i$  ( $i = \overline{0, n-1}$ ) находятся из тождества Безу

$$\hat{d}(s)g(s) - \hat{k}(s)r(s) = \psi(s), \quad (2.18)$$

где  $\hat{d}(s) = 1 + \sum_{i=1}^n \hat{d}_i s^i$ ,  $\hat{k}(s) = \sum_{i=0}^{\gamma} \hat{k}_i s^i$ ;  $\hat{d}_i, \hat{k}_j$  ( $i = \overline{1, n}, j = \overline{0, \gamma}$ ) – оценки коэффициентов объекта, получаемые как решения частотных уравнений (2.13) при  $\hat{\alpha}_k = \alpha_k(\delta_\epsilon)$  и  $\hat{\beta}_k = \beta_k(\delta_\epsilon)$ ;  $\psi(s)$  – заданный гурвицев полином степени  $2n-1$ ;  $v(t) = \sum_{k=1}^n \rho_k \sin \omega_k(t-t_0)$ .

Если характеристический полином  $\varphi(s) = d(s)g(s) - k(s)r(s)$  системы (2.1), (2.17) – гурвицев, то, прикладывая выход системы (2.1), (2.17) к фильтру Фурье (2.6), получим оценки её частотных параметров, используя которые можно вычислить [7] оценки частотных параметров объекта. ■

**Примечание 2** Метод конечно-частотной идентификации не изменяется, когда выход объекта измеряется с шумом. В этом случае уравнения (2.1) дополняются выражением

$$\check{y} = y + \eta, \quad (2.19)$$

где  $\check{y}(t)$  – измеряемый выход;  $\eta(t)$  – шум измерений, который, как и возмущение  $f(t)$ , является неизвестной, ограниченной функцией:  $|\eta(t)| \leq \eta^*$ , где  $\eta^*$  – некоторое число. В интегралах (2.6) и (2.11)  $y(t)$  в этом случае заменяется на  $\check{y}(t)$ , а в (2.7) –  $\bar{y}(t)$  заменяется на  $\check{\bar{y}}(t)$ . ■

### 3 Постановка задачи

В описанном методе идентификации предполагается, что параметры испытательных сигналов (2.5) и (2.10) (амплитуды и частоты, а также число  $\lambda$ ) заданы. Из утверждений 1 и 2, а также непрерывной зависимости решений частотных уравнений (2.13) от малых изменений их коэффициентов и правых частей следует, что существует время фильтрации  $\tau$ , для которого выполняются требования (2.3) к точности идентификации. Это время зависит от начальных условий, функции  $f(t)$  и параметров испытательного сигнала. При априорном задании амплитуд и частот испытательного сигнала время фильтрации может оказаться недопустимо большим с практической точки зрения, а поэтому необходима настройка этих параметров в процессе идентификации.

Рассмотрим вначале задачу выбора испытательных частот. В соответствии с утверждением 2 результат идентификации не зависит от этих частот, если частотные параметры точно известны. Однако ошибки фильтрации приводят к зависимости оценок коэффициентов объекта от выбора испытательных частот. Это объясняется тем, что частотные уравнения (2.13), которые трансформируют ошибки фильтрации в ошибки идентификации, имеют коэффициенты, явно и неявно зависящие от  $\omega_k$  ( $k = \overline{1, n}$ ).

Для исследования влияния выбора испытательных частот будем использовать максимальные значения относительных ошибок фильтрации и идентификации:

$$\eta_{\alpha\beta} = \max \left\{ \hat{\alpha}_1 \div \alpha_1, \hat{\alpha}_2 \div \alpha_2, \dots, \hat{\alpha}_n \div \alpha_n; \hat{\beta}_1 \div \beta_1, \hat{\beta}_2 \div \beta_2, \dots, \hat{\beta}_n \div \beta_n \right\}, \quad (3.1)$$

$$\eta_{dk} = \max \left\{ \hat{d}_1 \div d_1, \hat{d}_2 \div d_2, \dots, \hat{d}_n \div d_n; \hat{k}_1 \div k_1, \hat{k}_2 \div k_2, \dots, \hat{k}_\gamma \div k_\gamma \right\}. \quad (3.2)$$

**Определение 1** Коэффициентом чувствительности ошибок идентификации к ошибкам фильтрации называется число (обусловленности)

$$K_\eta = \frac{\eta_{dk}}{\eta_{\alpha\beta}}. \quad (3.3)$$

**Задача 1** Исследовать зависимость коэффициента чувствительности от испытательных частот, найти диапазоны частот с высоким коэффициентом чувствительности и построить алгоритм самонастройки испытательных частот вне этих диапазонов.

Выбор амплитуд испытательного сигнала (при заданных испытательных частотах и показателе экспоненты  $\lambda$ ) осложнён следующими противоречивыми требованиями. С одной стороны, ошибки фильтрации обратно пропорциональны амплитудам  $\rho_k$  ( $k = \overline{1, n}$ ) и поэтому последние должны выбираться максимально возможными. С другой стороны, составляющая выхода объекта, возбуждённая испытательным сигналом, должна быть достаточно малой частью «естественного» выхода  $\bar{y}(t)$ . Поэтому амплитуды  $\rho_k$  ( $k = \overline{1, n}$ ) выбираются максимально возможными при условии

$$|y(t) - \bar{y}(t)| \leq \varepsilon_y, \quad t \geq t_F, \quad (3.4)$$

в котором  $\varepsilon_y$  – заданное число. Это условие называется [6] условием «малости возбуждения» объекта испытательным сигналом. Наряду с условием (3.4) ниже будет использоваться и более «мягкое» условие «малости возбуждения»

$$\max_{t \geq t_F} |y(t)| \div \max_{t \geq t_F} |\bar{y}(t)| \leq \varepsilon_y. \quad (3.5)$$

Показатель экспоненты  $\lambda$  в испытательном сигнале (2.10), используемом в процессе идентификации неустойчивого объекта, должен удовлетворять условию  $\lambda > s^*$ , в котором  $s^*$  – неизвестное число.

**Задача 2** Найти алгоритм самонастройки амплитуд  $\rho_k$  ( $k = \overline{1, n}$ ) испытательного сигнала, при котором выполняется условие малости возбуждения (3.4), а для неустойчивых объектов найти также показатель экспоненты  $\lambda > s^*$ .

**Примечание 3** В следующих двух разделах приводится решение задачи 1 для асимптотически устойчивого объекта. Покажем, что это решение полностью распространяется на неустойчивые объекты. Обозначим

$$\tilde{y}(t) = y(t)e^{-\lambda(t-t_0)}, \quad \tilde{u}(t) = \sum_{k=1}^n \rho_k \sin \omega_k(t - t_0). \quad (3.6)$$

Тогда, в соответствии с (2.10), имеем  $u(t) = \tilde{u}(t)e^{\lambda(t-t_0)}$ . Введём следующее

**Определение 2** Преобразованным объектом называется объект, входом которого является сигнал  $\tilde{u}(t)$ , а выходом – измеряемый сигнал  $\tilde{y}(t)$ .

Структурная схема этого объекта приведена на рис. 1.

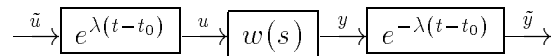


Рис. 1. Преобразованный объект.

Найдём его передаточную функцию

$$\begin{aligned} \tilde{w}(s) &= \frac{\tilde{y}(s)}{\tilde{u}(s)} = \frac{\mathcal{L}\{\tilde{y}(t)\}}{\mathcal{L}\{\tilde{u}(t)\}} = \frac{\mathcal{L}\{y(t)e^{-\lambda(t-t_0)}\}}{\mathcal{L}\{u(t)e^{-\lambda(t-t_0)}\}} = \frac{y(s+\lambda)}{u(s+\lambda)} = \\ &= w(s+\lambda) = \frac{k(s+\lambda)}{d(s+\lambda)} = \frac{\tilde{k}(s)}{\tilde{d}(s)} = \frac{\tilde{k}_\gamma s^\gamma + \dots + \tilde{k}_1 s + \tilde{k}_0}{s^n + \tilde{d}_{n-1} s^{n-1} + \dots + \tilde{d}_1 s + \tilde{d}_0}. \end{aligned} \quad (3.7)$$

Преобразованный объект асимптотически устойчив. Действительно, так как  $d(s_i) = 0$  ( $i = \overline{1, n}$ ), то корнями полинома  $\tilde{d}(s) = d(s+\lambda)$  являются корни  $\tilde{s}_i = -\lambda + s_i$  ( $i = \overline{1, n}$ ). По определению числа  $\lambda$ ,  $\operatorname{Re} \tilde{s}_i < 0$ .

Оценками частотных параметров преобразованного объекта являются выходы фильтра Фурье (2.6). Этот фильтр с учётом первого из обозначений (3.6) совпадает с фильтром (2.11). Оценки коэффициентов  $\tilde{d}_i, \tilde{k}_j$  ( $i = \overline{0, n-1}, j = \overline{0, \gamma}$ ) преобразованного объекта находятся путём решения частотных уравнений (2.13) при  $s_k = j\omega_k$  ( $k = \overline{1, n}$ ), а искомые оценки коэффициентов  $d_i$  и  $k_j$  ( $i = \overline{0, n-1}, j = \overline{0, \gamma}$ ) однозначно вычисляются по формулам, которые нетрудно получить из равенств  $\tilde{d}(s) = d(s+\lambda), \tilde{k}(s) = k(s+\lambda)$ . ■

## 4 Частотные диапазоны

Передаточную функцию асимптотически устойчивого объекта (2.1)

$$w(s) = \frac{k(s)}{d(s)} = \frac{\sum_{j=0}^{\gamma} k_j s^j}{1 + \sum_{i=1}^n d_i s^i} \quad (4.1)$$

при  $k_0 \neq 0$  представим в виде

$$w(s) = k_0 \frac{\prod_{i=1}^{\check{p}} (\check{T}_i s + 1) \prod_{i=1}^{\check{p}} (\check{T}_i^2 s^2 + 2\check{T}_i \check{\xi}_i s + 1)}{\prod_{i=1}^{\bar{p}} (\bar{T}_i s + 1) \prod_{i=1}^{\bar{p}} (\bar{T}_i^2 s^2 + 2\bar{T}_i \bar{\xi}_i s + 1)}. \quad (4.2)$$

Будем полагать, что постоянные времени различны и упорядочены следующим образом:

$$\bar{T}_1 > \bar{T}_2 > \dots > \bar{T}_{\bar{p}}, \quad \check{T}_1 > \check{T}_2 > \dots > \check{T}_{\check{p}}; \quad (4.3)$$

$$|\check{T}_1| > |\check{T}_2| > \dots > |\check{T}_{\check{p}}|, \quad |\bar{T}_1| > |\bar{T}_2| > \dots > |\bar{T}_{\bar{p}}|. \quad (4.4)$$

**Определение 3** Частоты

$$\bar{\omega}_i = \frac{1}{\bar{T}_i} \quad i = \overline{1, \bar{p}}, \quad \check{\omega}_i = \frac{1}{\check{T}_i} \quad i = \overline{1, \check{p}}, \quad \check{\omega}_i = \frac{1}{|\check{T}_i|} \quad i = \overline{1, \check{p}}, \quad \check{\omega}_i = \frac{1}{|\check{T}_i|} \quad i = \overline{1, \check{p}}, \quad (4.5)$$

называются собственными частотами объекта.

Нижние и верхние границы собственных частот обозначим как

$$\omega_n = \min \{ \bar{\omega}_1, \check{\omega}_1, \check{\omega}_1, \check{\omega}_1 \} \quad \text{и} \quad \omega_s = \max \{ \bar{\omega}_{\bar{p}}, \check{\omega}_{\check{p}}, \check{\omega}_{\check{p}}, \check{\omega}_{\check{p}} \}. \quad (4.6)$$

**Определение 4** Диапазоны  $\Omega_n$  и  $\Omega_e$  называются диапазонами низких  $(0, \omega_n)$  и высоких  $(\omega_e, \infty)$  частот соответственно, а диапазон  $\Omega$  – диапазоном собственных частот  $[\omega_n, \omega_e]$  объекта.

Частотные параметры объекта (2.1) выразим через коэффициенты передаточной функции (4.1) (вывод соотношений приведён в приложении П.2)

$$\alpha_k = \frac{\sum_{q=0}^{\lfloor \frac{n+\gamma}{2} \rfloor} l_{2q} \omega_k^{2q}}{\sum_{q=0}^n m_q \omega_k^{2q}}, \quad \beta_k = \frac{\sum_{q=0}^{\lfloor \frac{n+\gamma}{2} \rfloor - 1} l_{2q+1} \omega_k^{2q+1}}{\sum_{q=0}^n m_q \omega_k^{2q}} \quad k = \overline{1, n}, \quad (4.7)$$

где  $\lfloor \cdot \rfloor$  и  $\lfloor \cdot \rfloor - 1$  – ближайшие к  $\cdot$  целые числа, такие что  $\lfloor \cdot \rfloor \leq \cdot \leq \lfloor \cdot \rfloor + 1$ ,

$$\begin{aligned} l_{2q} &= \sum_{\sigma_q^\alpha} (-1)^{i+q} d_i k_j & \sigma_q^\alpha &= \{ i, j : i + j = 2q, \quad i = \overline{0, n}, j = \overline{0, \gamma} \}, \\ l_{2q+1} &= \sum_{\sigma_q^\beta} (-1)^{i+q} d_i k_j & \sigma_q^\beta &= \{ i, j : i + j = 2q + 1, \quad i = \overline{0, n}, j = \overline{0, \gamma} \}, \\ m_q &= \sum_{\sigma_q} (-1)^{i+q} d_i d_j & \sigma_q &= \{ i, j : i + j = 2q, \quad i = \overline{0, n}, j = \overline{0, n} \}. \end{aligned} \quad (4.8)$$

**Утверждение 4** Всегда существует набор испытательных частот  $\omega_k \in \Omega_n$  ( $k = \overline{1, n}$ ), строго ФФ-фильтруемое внешнее возмущение  $|f(t)| \leq f^*$  и время фильтрации  $\tau^* > \tau^{**}$  (где  $\tau^{**}$  – любое, сколь угодно большое число), такие, что коэффициент чувствительности превышает любое заданное положительное число  $K_\eta^*$ :

$$K_\eta > K_\eta^*. \quad (4.9)$$

Для доказательства утверждения 4 аппроксимируем частотные параметры (4.7) функциями

$$\alpha_k^n = l_0, \quad \beta_k^n = \sum_{q=0}^{\lfloor \frac{n}{2} \rfloor - 1} l_{2q+1} \omega_k^{2q+1} \quad k = \overline{1, n}. \quad (4.10)$$

Из структуры (4.7) очевидно следующее

**Свойство 1** Для любого сколь угодно малого числа  $\delta_n > 0$  всегда существует такой набор испытательных частот  $\omega_k \in \Omega_n$  ( $k = \overline{1, n}$ ), что

$$\alpha_k^n \div \alpha_k < \delta_n, \quad \beta_k^n \div \beta_k < \delta_n \quad k = \overline{1, n}. \quad (4.11)$$

Оценки частотных параметров представим в виде

$$\begin{aligned} \hat{\alpha}_k &= \alpha_k(\tau) = \alpha_k + \Delta\alpha_k(\tau) = \alpha_k^n + \varepsilon_\alpha^n(\omega_k) + \Delta\alpha_k(\tau), \quad \text{где } \varepsilon_\alpha^n(\omega_k) = \alpha_k - \alpha_k^n, \\ \hat{\beta}_k &= \beta_k(\tau) = \beta_k + \Delta\beta_k(\tau) = \beta_k^n + \varepsilon_\beta^n(\omega_k) + \Delta\beta_k(\tau), \quad \text{где } \varepsilon_\beta^n(\omega_k) = \beta_k - \beta_k^n, \end{aligned} \quad k = \overline{1, n}. \quad (4.12)$$

**Лемма 1** Всегда существуют испытательные частоты  $\omega_k \in \Omega_n$  ( $k = \overline{1, n}$ ), строго ФФ-фильтруемое внешнее возмущение  $|f(t)| \leq f^*$  и время фильтрации  $\tau^* > \tau^{**}$  (где  $\tau^{**}$  – любое заданное сколь угодно большое число), такие, что

$$\varepsilon_\alpha^n(\omega_k) = -\Delta\alpha_k(\tau^*), \quad \varepsilon_\beta^n(\omega_k) = -\Delta\beta_k(\tau^*) \quad k = \overline{1, n}. \quad (4.13)$$



**Свойство 2** Если выполняются равенства (4.13), то оценки частотных параметров объекта (2.1) имеют вид

$$\hat{\alpha}_k = \alpha_k^n, \quad \hat{\beta}_k = \beta_k^n \quad k = \overline{1, n}. \quad (4.14)$$

Для таких значений частотных параметров решение частотных уравнений (2.13) единственно, и при этом

$$\hat{d}_i = 0 \quad i = \overline{1, n}. \quad (4.15)$$

Доказательство свойства 1 приведено в приложении П.3, леммы 1 – в приложении П.4 и свойства 2 – в приложении П.5.

Убедимся в справедливости свойства 2 при  $n = 2$ . Частотные уравнения (2.13) имеют в этом случае вид

$$\hat{k}_0 + j\omega_k \hat{k}_1 - (\hat{\alpha}_k + j\hat{\beta}_k)(j\omega_k \hat{d}_1 - \omega_k^2 \hat{d}_2) = \hat{\alpha}_k + j\hat{\beta}_k \quad k = \overline{1, 2}. \quad (4.16)$$

Подставляя сюда  $\hat{\alpha}_k = l_0$  и  $\hat{\beta}_k = l_1 \omega_k$  ( $k = \overline{1, 2}$ ), получим систему

$$\hat{k}_0 + l_1 \omega_k^2 \hat{d}_1 + l_0 \omega_k^2 \hat{d}_2 = l_0, \quad \hat{k}_1 - l_0 \hat{d}_1 + l_1 \omega_k^2 \hat{d}_2 = l_1 \quad k = \overline{1, 2}, \quad (4.17)$$

которая имеет очевидное решение  $\hat{d}_1 = \hat{d}_2 = 0$ ,  $\hat{k}_0 = l_0$ ,  $\hat{k}_1 = l_1$ . Это решение единственно, так как определитель, составленный из коэффициентов системы (4.17) равен  $[l_1(\omega_1 - \omega_2)(\omega_1 + \omega_2)]^2 \neq 0$ .

**Доказательство утверждения 4.** Пусть задано сколь угодно большое число  $K_\eta^*$ . Примем

$$\delta_n = \frac{1}{K_\eta^*} \quad (4.18)$$

и найдём частоты  $\omega_k$  ( $k = \overline{1, n}$ ), при которых выполняются неравенства (4.11).

Равенства (4.15) означают, что

$$\eta_{dk} \geq 1. \quad (4.19)$$

С другой стороны, из свойства 1 и равенств (4.18) и (4.14) следует, что

$$\eta_{\alpha\beta} = \max_{1 \leq k \leq n} \{ \hat{\alpha}_k \div \alpha_k, \hat{\beta}_k \div \beta_k \} = \max_{1 \leq k \leq n} \{ \alpha_k^n \div \alpha_k, \beta_k^n \div \beta_k \} < \delta_n = \frac{1}{K_\eta^*}. \quad (4.20)$$

Подставляя (4.19) и (4.20) в (3.3), получим неравенство (4.9):

$$K_\eta = \frac{\eta_{dk}}{\eta_{\alpha\beta}} \geq \frac{1}{\eta_{\alpha\beta}} > K_\eta^*. \quad \blacksquare \quad (4.21)$$

**Утверждение 5** Всегда существует набор испытательных частот  $\omega_k \in \Omega_\epsilon$  ( $k = \overline{1, n}$ ), строго ФФ-фильтруемое внешнее возмущение  $|f(t)| \leq f^*$  и время фильтрации  $\tau^* > \tau^{**}$  (где  $\tau^{**}$  – любое заданное сколь угодно большое число), такие, что частотные уравнения (2.13) несовместны. Решения задачи идентификации в этом случае не существует.

Для доказательства утверждения 5 аппроксимируем (полагая для простоты, что  $n$  – чётное и  $\gamma = n - 1$ ) частотные параметры (4.7) функциями

$$\alpha_k^\circ = \sum_{q=n/2}^{n-1} \bar{l}_{2q} \omega_k^{2(q-n)}, \quad \beta_k^\circ = \bar{l}_{2n-1} \omega_k^{-1} \quad k = \overline{1, n}, \quad (4.22)$$

где  $\bar{l}_\bullet = l_\bullet / m_n$ .

**Свойство 3** Для любого сколь угодно малого числа  $\delta_\varepsilon > 0$  всегда существует такой набор испытательных частот  $\omega_k \in \Omega_\varepsilon$  ( $k = \overline{1, n}$ ), что

$$\alpha_k^\varepsilon \div \alpha_k < \delta_\varepsilon, \quad \beta_k^\varepsilon \div \beta_k < \delta_\varepsilon \quad k = \overline{1, n}. \quad (4.23)$$

Оценки частотных параметров представим в виде

$$\begin{aligned} \hat{\alpha}_k &= \alpha_k(\tau) = \alpha_k + \Delta\alpha_k(\tau) = \alpha_k^\varepsilon + \varepsilon_\alpha^\varepsilon(\omega_k) + \Delta\alpha_k(\tau), \quad \text{где } \varepsilon_\alpha^\varepsilon(\omega_k) = \alpha_k - \alpha_k^\varepsilon, \\ \hat{\beta}_k &= \beta_k(\tau) = \beta_k + \Delta\beta_k(\tau) = \beta_k^\varepsilon + \varepsilon_\beta^\varepsilon(\omega_k) + \Delta\beta_k(\tau), \quad \text{где } \varepsilon_\beta^\varepsilon(\omega_k) = \beta_k - \beta_k^\varepsilon, \end{aligned} \quad k = \overline{1, n}. \quad (4.24)$$

**Лемма 2** Всегда существуют испытательные частоты  $\omega_k \in \Omega_\varepsilon$  ( $k = \overline{1, n}$ ), строго ФФ-фильтруемое внешнее возмущение  $|f(t)| \leq f^*$  и время фильтрации  $\tau^* > \tau^{**}$  (где  $\tau^{**}$  – любое заданное сколь угодно большое число), такие, что

$$\varepsilon_\alpha^\varepsilon(\omega_k) = -\Delta\alpha_k(\tau^*), \quad \varepsilon_\beta^\varepsilon(\omega_k) = -\Delta\beta_k(\tau^*) \quad k = \overline{1, n}. \quad (4.25)$$

**Свойство 4** Если оценки частотных параметров объекта (2.1) имеют вид

$$\hat{\alpha}_k = \alpha_k^\varepsilon, \quad \hat{\beta}_k = \beta_k^\varepsilon \quad k = \overline{1, n}, \quad (4.26)$$

то частотные уравнения (2.13) несовместны.

Доказательство свойства 3 приведено в приложении П.6, свойства 4 – в приложении П.7. Доказательство леммы 2 проводится аналогично приведённому в приложении П.4.

Убедимся в справедливости свойства 4 при  $n = 2$ . В этом случае  $\hat{\alpha}_k = \bar{l}_2 \omega_k^{-2}$  и  $\hat{\beta}_k = \bar{l}_3 \omega_k^{-1}$  ( $k = \overline{1, 2}$ ). Подставляя эти оценки в частотные уравнения (4.16), получим систему

$$\omega_k^2 \hat{k}_0 + \omega_k^2 \bar{l}_3 \hat{d}_1 + \omega_k^2 \bar{l}_2 \hat{d}_2 = \bar{l}_2, \quad \omega_k^2 \hat{k}_1 - \bar{l}_2 \hat{d}_1 + \omega_k^2 \bar{l}_3 \hat{d}_2 = \bar{l}_3 \quad k = \overline{1, 2}. \quad (4.27)$$

Поделим первое уравнение (4.27) на  $\omega_k^2$  и выпишем для каждой частоты отдельно

$$\hat{k}_0 + \bar{l}_3 \hat{d}_1 + \bar{l}_2 \hat{d}_2 = \bar{l}_2 / \omega_k^2, \quad \hat{k}_1 + \bar{l}_3 \hat{d}_1 + \bar{l}_2 \hat{d}_2 = \bar{l}_3 / \omega_k^2. \quad (4.28)$$

Уравнения (4.28) будут совместны только в том случае, если  $\omega_1 = \omega_2$ . Однако по определению испытательных частот:  $\omega_i \neq \omega_j$  для  $i \neq j$  ( $i, j = \overline{1, n}$ ). Таким образом, система (4.27) несовместна, что и требовалось показать.

**Доказательство утверждения 5.** Примем

$$\delta_\varepsilon = \eta^*, \quad (4.29)$$

где  $\eta^* > 0$  – заданное число, и найдём частоты  $\omega_k$  ( $k = \overline{1, n}$ ), при которых выполняются неравенства (4.23).

Из соотношений (4.29), (4.23) и (4.26) следует, что

$$\eta_{\alpha\beta} = \max_{1 \leq k \leq n} \left\{ \hat{\alpha}_k \div \alpha_k, \hat{\beta}_k \div \beta_k \right\} = \max_{1 \leq k \leq n} \left\{ \alpha_k^\varepsilon \div \alpha_k, \beta_k^\varepsilon \div \beta_k \right\} < \delta_\varepsilon = \eta^*, \quad (4.30)$$

т.е. при сколь угодно малых отклонениях  $\eta_{\alpha\beta} < \eta^*$  оценок частотных параметров от истинных, определённых на частотах  $\omega_k$  ( $k = \overline{1, n}$ ), имеет место свойство 4. ■

## 5.1 Существо подхода

Утверждения 4 и 5 подтверждают интуитивно ясное положение, что испытательные частоты должны выбираться из диапазона собственных частот. Это означает, что

$$\omega_n \leq \omega_k \leq \omega_\epsilon \quad k = \overline{1, n}. \quad (5.1)$$

Поэтому необходимо найти оценки  $\hat{\omega}_n$  и  $\hat{\omega}_\epsilon$  границ диапазона  $\Omega$  собственных частот.

Подход к решению этой задачи состоит в следующем. Представим передаточную функцию (4.2) объекта (2.1) в виде следующего произведения элементарных звеньев:

$$w(s) = w_0(s) \prod_{i=1}^{\bar{p}} \bar{w}_i(s) \prod_{i=1}^{\tilde{p}} \tilde{w}_i(s) \prod_{i=1}^{\check{p}} \check{w}_i(s) \prod_{i=1}^{\dot{p}} \dot{w}_i(s). \quad (5.2)$$

Для определения левой границы используем оператор  $s_n = s$ , который породит набор:  $w_0(s_n) = k_0$ ,  $\bar{w}_i(s_n) = \frac{1}{\bar{T}_i s_n + 1}$ ,  $\tilde{w}_i(s_n) = \frac{1}{\tilde{T}_i^2 s_n^2 + 2\tilde{T}_i \tilde{\xi}_i s_n + 1}$ ,  $\check{w}_i(s_n) = \check{T}_i s_n + 1$  и  $\dot{w}_i(s_n) = \dot{T}_i^2 s_n^2 + 2\dot{T}_i \dot{\xi}_i s_n + 1$  элементарных звеньев (5.2).

Для определения правой границы используем оператор  $s_\epsilon = 1/s$ , соответственно порождающий набор:  $w_0(s_\epsilon) = \alpha_0 s_\epsilon^{n-\gamma}$ ,  $\bar{w}_i(s_\epsilon) = \frac{1}{\bar{T}_i s_\epsilon + 1}$ ,  $\tilde{w}_i(s_\epsilon) = \frac{1}{\tilde{T}_i^2 s_\epsilon^2 + 2\tilde{T}_i \tilde{\xi}_i s_\epsilon + 1}$ ,  $\check{w}_i(s_\epsilon) = \check{T}_i s_\epsilon + 1$  и  $\dot{w}_i(s_\epsilon) = \dot{T}_i^2 s_\epsilon^2 + 2\dot{T}_i \dot{\xi}_i s_\epsilon + 1$ , элементарных звеньев (5.2), в которых  $\bar{T}_i = 1/\bar{T}_i$  ( $i = \overline{1, \bar{p}}$ ),  $\tilde{T}_i = 1/\tilde{T}_i$  ( $i = \overline{1, \tilde{p}}$ ),  $\check{T}_i = 1/\check{T}_i$  ( $i = \overline{1, \check{p}}$ ),  $\dot{T}_i = 1/\dot{T}_i$  ( $i = \overline{1, \dot{p}}$ ) и  $\alpha_0 = k_0 \prod_{i=1}^{\bar{p}} \bar{T}_i \prod_{i=1}^{\check{p}} \check{T}_i / \prod_{i=1}^{\tilde{p}} \tilde{T}_i / \prod_{i=1}^{\dot{p}} \dot{T}_i^2$ .

Выделим звено с максимальной постоянной времени:  $T_n = \max \{ \bar{T}_1, \tilde{T}_1, |\check{T}_1|, |\dot{T}_1| \}$  для определения  $\omega_n = 1/T_n$  левой, и  $\mathcal{T}_\epsilon = \max \{ \bar{\mathcal{T}}_{\bar{p}}, \tilde{\mathcal{T}}_{\tilde{p}}, |\check{\mathcal{T}}_{\check{p}}|, |\dot{\mathcal{T}}_{\dot{p}}| \}$  для  $\omega_\epsilon = \mathcal{T}_\epsilon$  правой границ испытательных частот соответственно. Передаточную функцию (5.2) представим в виде произведения

$$w(s) = w_m(s) w_\partial(s) \quad (5.3)$$

передаточных функций эвристической модели –  $w_m(s)$  и немоделируемой динамики –  $w_\partial(s)$ . Так, например, при  $T_n = \bar{T}_1$  и/или  $\mathcal{T}_\epsilon = \bar{\mathcal{T}}_1$

$$w_m(s) = w_0(s) \bar{w}_1(s), \quad w_\partial(s) = \prod_{i=2}^{\bar{p}} \bar{w}_i(s) \prod_{i=1}^{\tilde{p}} \tilde{w}_i(s) \prod_{i=1}^{\check{p}} \check{w}_i(s) \prod_{i=1}^{\dot{p}} \dot{w}_i(s). \quad (5.4)$$

Эвристическая модель в общем случае примет вид

$$d_{n_m}^m y^{(n_m)} + d_{n_m-1}^m y^{(n_m-1)} + \dots + d_{n'_m}^m y^{(n'_m)} = k_{\gamma_m}^m u^{(\gamma_m)} + k_{\gamma_m-1}^m u^{(\gamma_m-1)} + \dots + k_{\gamma'_m}^m u^{(\gamma'_m)}, \quad (5.5)$$

где  $0 \leq n'_m \leq n_m \leq n$  и  $0 \leq \gamma'_m \leq \gamma_m \leq \gamma$ , а  $d_i^m$  и  $k_j^m$  ( $i = \overline{n'_m, n_m}$ ,  $j = \overline{\gamma'_m, \gamma_m}$ ) – неизвестные коэффициенты. Они находятся из решения частотных уравнений (2.13) по выходам  $\alpha_k(\tau)$  и  $\beta_k(\tau)$  ( $k = \overline{1, n_m - n'_m}$ ) фильтра Фурье (2.6), если объект (2.1) возбудить испытательным сигналом

$$u(t) = \sum_{k=1}^{n_m - n'_m} \rho_k \sin \omega_k(t - t_0), \quad t \geq t_0. \quad (5.6)$$

Испытательные частоты  $\omega_k$  ( $k = \overline{1, n_m - n'_m}$ ) при этом выбираются так, чтобы на функции  $\alpha_k(\tau)$  и  $\beta_k(\tau)$  ( $k = \overline{1, n_m - n'_m}$ ) мало влияли постоянные времени передаточной функции  $w_\partial(s)$ .

## 5.2 Оценивание левой границы

Левая граница  $\omega_n$  определяется максимальной постоянной времени передаточной функции (4.2). Поэтому в соответствии с (4.5) и (4.6) возможны следующие случаи:

$$(a) \quad \omega_n = \frac{1}{\bar{T}_1}, \quad (б) \quad \omega_n = \frac{1}{\tilde{T}_1}, \quad (в) \quad \omega_n = \frac{1}{|\check{T}_1|}, \quad (г) \quad \omega_n = \frac{1}{|\check{\check{T}}_1|}. \quad (5.7)$$

Для простоты ограничимся рассмотрением случая (а). Исследование остальных случаев во многом аналогично. Эвристическая модель (5.5) в этом случае примет вид

$$T_m^n \dot{y} + y = k_m^n u. \quad (5.8)$$

Возбудим объект (2.1) испытательным сигналом

$$u(t) = \rho \sin \omega(t - t_0), \quad \omega < \omega_n, \quad t \geq t_0, \quad (5.9)$$

и, используя выходы  $\alpha(\tau)$  и  $\beta(\tau)$  фильтра Фурье (2.6) найдём, как решение уравнений (2.13) при  $n = 1$ , функцию

$$T_m^n(\tau) = -\frac{\beta(\tau)}{\omega \alpha(\tau)}. \quad (5.10)$$

**Утверждение 6** Функция  $T_m^n(\tau)$  имеет следующую структуру

$$T_m^n(\tau) = T_m^n + \varepsilon_m^n(\omega, \tau), \quad (5.11)$$

в которой число

$$T_m^n = \bar{T}_1 + \sum_{i=2}^{\bar{p}} \bar{T}_i + 2 \sum_{i=1}^{\check{p}} \tilde{T}_i \tilde{\xi}_i - \sum_{i=1}^{\check{p}} \check{T}_i - 2 \sum_{i=1}^{\check{\check{p}}} \check{\check{T}}_i \check{\check{\xi}}_i, \quad (5.12)$$

а функция  $\varepsilon_m^n(\omega, \tau)$  такова, что для любого заданного сколь угодно малого числа  $\varepsilon_n^*$  всегда существует достаточно малая частота  $\omega < \omega_n$  и достаточно большое время фильтрации  $\tau^*$ , что

$$|\varepsilon_m^n(\omega, \tau)| \leq \varepsilon_n^*, \quad \tau \geq \tau^*. \quad (5.13)$$

Доказательство утверждения приведено в работе [5]. Из выражения (5.12) следует, что ошибка оценивания  $\bar{T}_1$ , определяемая как  $T_m^n - \bar{T}_1$ , будет тем меньше, чем больше постоянная времени  $\bar{T}_1$  по сравнению с остальными постоянными времени передаточной функции (4.2), и, таким образом, искомая оценка левой границы собственных частот

$$\hat{\omega}_n = \frac{1}{T_m^n}. \quad (5.14)$$

**Примечание 4** Если имеет место случай (б) ( $\tilde{T}_1$  является максимальной постоянной времени объекта) и при этом  $\tilde{\xi}_1$  достаточно велика ( $0.3 \leq \tilde{\xi}_1 \leq 1$ ), то формула (5.12) может быть использована для определения  $\tilde{T}_1$ . Если  $\tilde{\xi}_1$  мало, то объект возбуждается испытательным сигналом  $u = \rho_1 \sin \omega_1(t - t_0) + \rho_2 \sin \omega_2(t - t_0)$ , в котором  $\omega_1, \omega_2 < \omega_n$ , используется эвристическая модель  $T_m^{2n} \ddot{y} + 2T_m^n \xi_m^n \dot{y} + y = k_m^n u$  и исследуется функция  $T_m^{2n}(\tau)$  и т.д. ■

### 5.3 Оценивание правой границы

Правая граница  $\omega_6$  определяется минимальной постоянной времени передаточной функции (4.2). Поэтому в соответствии с (4.5) и (4.6) возможны следующие случаи:

$$(a) \quad \omega_6 = \frac{1}{\bar{T}_{\bar{p}}}, \quad (б) \quad \omega_6 = \frac{1}{\tilde{T}_{\tilde{p}}}, \quad (в) \quad \omega_6 = \frac{1}{|\tilde{T}_{\tilde{p}}|}, \quad (г) \quad \omega_6 = \frac{1}{|\check{T}_{\check{p}}|}. \quad (5.15)$$

Для простоты ограничимся рассмотрением случая (а). Исследование остальных случаев во многом аналогично. Эвристическая модель (5.5) в этом случае примет вид

$$T_m^6 y^{(n-\gamma)} + y^{(n-\gamma-1)} = k_m^6 u. \quad (5.16)$$

Возбудим объект (2.1) испытательным сигналом

$$u(t) = \rho \sin \omega(t - t_0), \quad \omega > \omega_6, \quad t \geq t_0, \quad (5.17)$$

и, используя выходы  $\alpha(\tau)$  и  $\beta(\tau)$  фильтра Фурье (2.6) найдём, как решение уравнений (2.13), функцию

$$T_m^6(\tau) = \begin{cases} \frac{\alpha(\tau)}{\omega\beta(\tau)}, & \text{если } n - \gamma - \text{ чётное,} \\ -\frac{\beta(\tau)}{\omega\alpha(\tau)}, & \text{если } n - \gamma - \text{ нечётное.} \end{cases} \quad (5.18)$$

**Утверждение 7** Функция  $\mathcal{T}_m^6(\tau) = [T_m^6(\tau)]^{-1}$  имеет следующую структуру:

$$\mathcal{T}_m^6(\tau) = \omega_m^6 + \varepsilon_m^6(\omega, \tau), \quad (5.19)$$

в которой число

$$\omega_m^6 = \frac{1}{\bar{T}_{\bar{p}}} + \sum_{i=1}^{\bar{p}-1} \frac{1}{\bar{T}_i} + 2 \sum_{i=1}^{\tilde{p}} \frac{\tilde{\xi}_i}{\tilde{T}_i} - \sum_{i=1}^{\check{p}} \frac{1}{\check{T}_i} - 2 \sum_{i=1}^{\check{p}} \frac{\check{\xi}_i}{\check{T}_i}, \quad (5.20)$$

а функция  $\varepsilon_m^6(\omega, \tau)$  такова, что для любого заданного сколь угодно малого числа  $\varepsilon_6^*$  всегда существует достаточно большая частота  $\omega > \omega_6$  и достаточно большое время фильтрации  $\tau^*$ , что

$$|\varepsilon_m^6(\omega, \tau)| \leq \varepsilon_6^*, \quad \tau \geq \tau^*. \quad (5.21)$$

Доказательство утверждения приведено в работе [5]. Из выражения (5.20) следует, что ошибка оценивания  $\bar{T}_{\bar{p}}$ , определяемая как  $\omega_m^6 - 1/\bar{T}_{\bar{p}}$ , будет тем меньше (число  $\hat{\omega}_6$  будет тем ближе к величине правой границы), чем меньше постоянная времени  $\bar{T}_{\bar{p}}$  по сравнению с остальными постоянными времени передаточной функции (4.2), и, таким образом, искомая оценка правой границы собственных частот

$$\hat{\omega}_6 = \omega_m^6. \quad (5.22)$$

**Примечание 5** Если имеет место случай (б) ( $\tilde{T}_{\tilde{p}}$  является минимальной постоянной времени объекта) и при этом  $\tilde{\xi}_{\tilde{p}}$  достаточно велика ( $0.3 \leq \tilde{\xi}_{\tilde{p}} \leq 1$ ), то формула (5.20) может быть использована для определения  $\tilde{T}_{\tilde{p}}$ . Если  $\tilde{\xi}_{\tilde{p}}$  мало, то объект возбуждается испытательным сигналом  $u = \rho_1 \sin \omega_1(t - t_0) + \rho_2 \sin \omega_2(t - t_0)$ , в котором  $\omega_1, \omega_2 > \omega_6$ , используется эвристическая модель  $T_m^{2\epsilon} y^{(n-\gamma)} + 2T_m^{\epsilon} \xi_m^{\epsilon} y^{(n-\gamma-1)} + y^{(n-\gamma-2)} = k_m^{\epsilon} u$  и исследуется функция  $\mathcal{T}_m^{2\epsilon}(\tau)$  и т.д. ■

## 6 Алгоритмы настройки

Процесс идентификации состоит из двух этапов: *самонастройки испытательного сигнала* и *идентификации*. Самонастройка состоит из серии  $N$  экспериментов, поставленных во временных интервалах  $[t_b^{[i]}, t_e^{[i]}]$  ( $i = \overline{1, N}$ ). Интервал  $[t_b^{[i]}, t_e^{[i]}]$  далее будем называть  $i$ -ым. Интервалы самонастройки при  $u(t) = 0$  будем называть *интервалами-паузами*, а при  $u(t) \neq 0$  – *интервалами-испытаниями*. Переменную  $t \in [t_b^{[i]}, t_e^{[i]}]$  будем обозначать как  $t^{[i]}$ , а произвольную функцию  $q(t^{[i]})$  – через  $q^{[i]}(t)$ .

### 6.1 Самонастройка амплитуд

Введём ограничение на свойства возмущения  $f(t)$ , при котором может быть проверено экспериментально требование «малости возбуждения» (3.4).

**Определение 5** Два интервала –  $i$ -й и  $i+1$ -й ( $i \in [1, N-1]$ ) называются *смежными*, если они примыкают друг к другу:  $t_e^{[i]} = t_b^{[i+1]}$  и имеют одинаковую длительность:  $t_e^{[i]} - t_b^{[i]} = t_e^{[i+1]} - t_b^{[i+1]}$ .

**Определение 6** Возмущение  $f(t)$  называется *смежно-стационарным*, если разности выхода объекта (2.1) на двух смежных интервалах-паузах заданной длительности  $\bar{\tau} > t_F$  удовлетворяют неравенству

$$|\bar{y}^{[i]}(t) - \bar{y}^{[i+1]}(t)| \leq \bar{\varepsilon}_y, \quad t^{[i+1]} = t^{[i]} + \bar{\tau} \quad i \in [1, N-1], \quad (6.1)$$

либо более мягкому условию

$$\max_{t_b^{[i]} + t_F \leq t \leq t_e^{[i]}} |\bar{y}(t)| \div \max_{t_b^{[i+1]} + t_F \leq t \leq t_e^{[i+1]}} |\bar{y}(t)| \leq \bar{\varepsilon}_y \quad i \in [1, N-1]. \quad (6.2)$$

Здесь  $\bar{\varepsilon}_y$  – заданное число,  $\bar{\varepsilon}_y \leq \varepsilon_y$ .

Далее будем полагать, что возмущение  $f(t)$  смежно-стационарно.

Представим амплитуды испытательного сигнала (2.10) как  $\rho_k = \rho \bar{\rho}_k$  ( $k = \overline{1, n}$ ), где  $\bar{\rho}_k$  ( $k = \overline{1, n}$ ) – заданные положительные числа (весовые коэффициенты амплитуд). Очевидно, что цель (3.4) самонастройки амплитуды  $\rho$  испытательного сигнала с заданными весовыми коэффициентами  $\bar{\rho}_k$  ( $k = \overline{1, n}$ ) амплитуд при заданных испытательных частотах  $\omega_k$  ( $k = \overline{1, n}$ ) и показателе экспоненты  $\lambda$  достигается на основе следующего алгоритма.

**Алгоритм 2 (самонастройки амплитуд для асимптотически устойчивого объекта)**

- (а) Проверить (на первых двух интервалах-паузах ( $i = 1, 2$ ) с априори заданной длительностью  $\bar{\tau}$ ) выполнение условия (6.2) «смежной стационарности».
- (б) На третьем интервале (интервале-испытании) приложить к объекту (2.1) испытательный сигнал (2.5) с заданной начальной амплитудой  $\rho^{[3]}$  ( $\rho_k^{[3]} = \rho^{[3]} \bar{\rho}_k$ ,  $k = \overline{1, n}$ ) и проверить выполнение требования (3.5) «малости возбуждения», которое имеет вид

$$\max_{t_b^{[2]} + t_F \leq t \leq t_e^{[2]}} |\bar{y}(t)| \div \max_{t_b^{[3]} + t_F \leq t \leq t_e^{[3]}} |y(t)| \leq \varepsilon_y. \quad (6.3)$$

- (в) Если неравенство (6.3) нарушается – уменьшаем амплитуду (полагая на следующем интервале  $\rho^{[4]}$  меньше  $\rho^{[3]}$  и т.д.), до тех пор пока это неравенство не выполнится.
- (г) Если неравенство (6.3) выполняется – увеличиваем амплитуду (полагая на следующем интервале  $\rho^{[4]}$  больше  $\rho^{[3]}$  и т.д.), до тех пор пока это неравенство не нарушится при некотором  $\rho^{[i]}$ , и тогда следует принять  $\rho = \rho^{[i-1]}$  ( $i = \overline{4, N}$ ). ■

Алгоритм самонастройки амплитуд испытательного сигнала (2.10) для неустойчивых объектов отличается от алгоритма 2 следующим: в операции (а) используется условие (6.1), а в операции (б) – неравенство  $|\bar{y}^{[2]}(t) - y^{[3]}(t)| \leq \varepsilon_y$ , (где  $y^{[3]}(t)$  – выход объекта на третьем интервале, в котором амплитуда  $\rho^{[3]} = u^*$ ), а операция (г) – отсутствует.

## 6.2 Самонастройка испытательных частот

Самонастройка испытательных частот начинается с оценки их границ. Для этого объект возбуждается сигналами (5.9), (5.17) и на основе неравенств (2.8) определяется время фильтрации  $\tau$ . В этих неравенствах, описывающих свойство ФФ-фильтруемости внешнего возмущения, трудно априори задать числа  $\varepsilon_k^\alpha$  и  $\varepsilon_k^\beta$  ( $k = \overline{1, n}$ ). В этом отношении более удобными являются следующие условия ФФ-фильтруемости:

$$|\ell_k^\alpha(\tau)|/|\alpha_k(\tau)| \leq \bar{\varepsilon}_k^\alpha, \quad |\ell_k^\beta(\tau)|/|\beta_k(\tau)| \leq \bar{\varepsilon}_k^\beta, \quad k = \overline{1, n}, \quad \tau \geq \tau^*, \quad (6.4)$$

где  $\bar{\varepsilon}_k^\alpha$  и  $\bar{\varepsilon}_k^\beta$  ( $k = \overline{1, n}$ ) – заданные достаточно малые числа, характеризующие относительные значения функции фильтруемости.

Для целей самонастройки испытательных частот неравенства (6.4) можно заменить условиями для концов интервалов

$$|\ell_k^\alpha(t_e^{[i]})|/|\alpha_k(t_e^{[i]})| \leq \bar{\varepsilon}_k^\alpha, \quad |\ell_k^\beta(t_e^{[i]})|/|\beta_k(t_e^{[i]})| \leq \bar{\varepsilon}_k^\beta, \quad k = \overline{1, n} \quad i = \overline{1, N}. \quad (6.5)$$

Для их экспериментальной проверки рассмотрим неравенства

$$|\ell_k^\alpha(t_e^{[i]})|/|\alpha_k(t_e^{[i+1]})| \leq \bar{\varepsilon}_k^\alpha, \quad |\ell_k^\beta(t_e^{[i]})|/|\beta_k(t_e^{[i+1]})| \leq \bar{\varepsilon}_k^\beta, \quad k = \overline{1, n} \quad i = \overline{1, N-1}, \quad (6.6)$$

которые близки к (6.5), если возмущение  $f(t)$  является смежно ФФ-фильтруемым.

**Определение 7** Возмущение  $f(t)$  называется **смежно ФФ-фильтруемым**, если функции фильтруемости удовлетворяют условиям

$$\frac{|\ell_k^\alpha(t_e^{[i]}) - \ell_k^\alpha(t_e^{[i+1]})|}{|\alpha_k(t_e^{[i+1]})|} \leq \varepsilon \bar{\varepsilon}_k^\alpha, \quad \frac{|\ell_k^\beta(t_e^{[i]}) - \ell_k^\beta(t_e^{[i+1]})|}{|\beta_k(t_e^{[i+1]})|} \leq \varepsilon \bar{\varepsilon}_k^\beta, \quad k = \overline{1, n} \quad i = \overline{1, N-1}, \quad (6.7)$$

где  $\varepsilon$  – заданное достаточно малое число.

Чтобы убедиться в близости неравенств (6.5) и (6.6) для смежно ФФ-фильтруемого возмущения, запишем

$$\frac{|\ell_k^\alpha(t_e^{[i+1]})|}{|\alpha_k(t_e^{[i+1]})|} \leq \frac{|\ell_k^\alpha(t_e^{[i+1]}) - \ell_k^\alpha(t_e^{[i]})|}{|\alpha_k(t_e^{[i+1]})|} + \frac{|\ell_k^\alpha(t_e^{[i]})|}{|\alpha_k(t_e^{[i+1]})|} \leq (\varepsilon + 1) \bar{\varepsilon}_k^\alpha, \quad k = \overline{1, n} \quad i = \overline{1, N-1},$$

и таким образом, из неравенств (6.6) следуют (с точностью до  $\varepsilon$ ) неравенства (6.5).

Для экспериментальной проверки условий (6.7) смежной ФФ-фильтруемости будем использовать выражения

$$\alpha_k(t_e^{[i]}) \div \alpha_k(t_e^{[i+1]}) \leq \varepsilon \bar{\varepsilon}_k^\alpha, \quad \beta_k(t_e^{[i]}) \div \beta_k(t_e^{[i+1]}) \leq \varepsilon \bar{\varepsilon}_k^\beta, \quad k = \overline{1, n} \quad i = \overline{1, N-1}, \quad (6.8)$$

которые, с точностью до некоторых малых чисел, совпадают с (6.7). Действительно, в работе [6] показано, что  $\alpha_k(t) = \alpha_k + \ell_k^\alpha(t) + e_k^\alpha(t)$ ,  $\beta_k(t) = \beta_k + \ell_k^\beta(t) + e_k^\beta(t)$ , где  $\lim_{t \rightarrow \infty} e_k^\alpha(t) = \lim_{t \rightarrow \infty} e_k^\beta(t) = 0$ .

**Алгоритм 3 (самонастройки испытательных частот для асимптотически устойчивого объекта)** состоит из следующих операций:

1. Найти оценку левой (нижней) границы испытательных частот, выполняя следующие подоперации:

(а) Найти амплитуду  $\rho = \rho^{[1]}$ , используя алгоритм 2, испытательного сигнала

$$u(t) = \rho^{[1]} \sin \omega_n^{[1]}(t - t_0), \quad (6.9)$$

в котором  $\omega_n^{[1]}$  – заданная достаточно малая частота. Полагаем в алгоритме 2

$$\bar{\tau} = qT_\delta^{[1]}, \quad (6.10)$$

где  $T_\delta^{[1]} = \frac{2\pi}{\omega_n^{[1]}}$ ,  $q$  – заданное число.

(б) Определить время фильтрации  $\tau_n^{[1]}$  из условий (6.6) ФФ-фильтруемости внешнего возмущения, путём измерения выходов фильтров (2.7) при  $n = 1$ ,  $\omega_1 = \omega_n^{[1]}$  в моменты времени  $t_e^{[2i-1]} = t^* + T_\delta^{[1]}(2i-1)$ ,  $t_e^{[2i]} = t_e^{[2i-1]} + T_\delta^{[1]}$  ( $i = \overline{1, N_1}$ ) где  $t^*$  – момент окончания подоперации (а),  $N_1$  – номер пары интервалов, в которые выполняются условия (6.6). Таким образом,  $\tau_n^{[1]} = 2N_1T_\delta^{[1]}$ .

**Примечание 6** Может случиться, что числа  $\tau_n^{[1]}$ , для которого выполняются условия (6.6), не существует. Это означает, что возмущение  $f(t)$  не является ФФ-фильтруемым на частоте  $\omega_n^{[1]}$ . В этом случае нужно изменять  $\omega_n^{[1]}$  до тех пор, пока не будет найдено  $\tau_n^{[1]}$ . ■

(в) Проверить условия (6.8) смежной ФФ-фильтруемости и условия (5.13) сходимости оценки нижней границы испытательных частот. Для этой цели измеряется выход фильтров (2.6) при  $\tau = \tau_n^{[1]}$  и  $\tau = \tau_n^{[1]} + T_\delta^{[1]}$  и проверяются неравенства (6.8), а затем вычисляются по формуле (5.10) значения  $T_m^n(\tau_n^{[1]})$  и  $T_m^n(\tau_n^{[1]} + T_\delta^{[1]})$  и проверяется необходимое условие сходимости по времени фильтрации

$$T_m^n(\tau_n^{[1]}) \div T_m^n(\tau_n^{[1]} + T_\delta^{[1]}) \leq \varepsilon_T, \quad (6.11)$$

где  $\varepsilon_T$  – заданное достаточно малое число.

Если это условие не выполняется, то процесс фильтрации продолжается и  $\bar{\tau}_n^{[1]} = \tau_n^{[1]} + qT_\delta^{[1]}$ , где  $q = 2, 3, \dots$ , и проверяются неравенства

$$T_m^n(\tau_n^{[1]} + (q-1)T_\delta^{[1]}) \div T_m^n(\tau_n^{[1]} + qT_\delta^{[1]}) \leq \varepsilon_T. \quad (6.12)$$

Пусть при некотором  $q = q^{[1]}$  эти условия выполнены, тогда проверяются (при  $i = q^{[1]}$ ) требования (6.6) и (6.8) фильтруемости внешнего возмущения.



**Примечание 7** При выполнении подопераций (б) и (в) необходимо проверить условие (6.3) малости возбуждения и при их нарушении использовать алгоритм 2 для настройки амплитуды испытательного сигнала (6.9). ■

- Повторить операцию 1 при  $\omega_n^{[2]} = \omega_n^{[1]}/2$ , найти число  $T_M^n(\bar{\tau}_n^{[2]})$ , где  $\bar{\tau}_n^{[2]} = \tau_n^{[2]} + q^{[2]}T_\delta^{[2]}$  и проверить необходимое условие сходимости по испытательной частоте

$$T_M^n(\bar{\tau}_n^{[1]}) \div T_M^n(\bar{\tau}_n^{[2]}) \leq \varepsilon_\omega, \quad (6.13)$$

где  $\varepsilon_\omega$  – заданное, достаточно малое число. Если это условие выполняется, то оценка левой границы  $\hat{\omega}_m = [T_M^n(\bar{\tau}_n^{[2]})]^{-1}$ .

В противном случае возвращаемся к операции 1, полагая  $\omega_n^{[3]} = \omega_n^{[2]}/2$ , и т.д.

- Найти оценку правой (верхней) границы испытательных частот, повторяя операцию 1, где  $\omega_\delta^{[3]}$  – достаточно большое число (например,  $\omega_\delta^{[3]} = 10^3 \hat{\omega}_n$ ). Необходимое условие сходимости, аналогичное (6.12), имеет вид

$$T_M^\delta(\tau_\delta^{[3]} + (q-1)T_\delta^{[3]}) \div T_M^\delta(\tau_\delta^{[3]} + qT_\delta^{[3]}) \leq \varepsilon_T. \quad (6.14)$$

Пусть при  $q = q^{[3]}$  это условие выполняется.

- Повторить операцию 3, полагая  $\omega_\delta^{[4]} = 2\omega_\delta^{[3]}$ , и найти число  $T_M^\delta(\bar{\tau}_\delta^{[4]})$ , где  $\bar{\tau}_\delta^{[4]} = \tau_\delta^{[4]} + q^{[4]}T_\delta^{[4]}$ , и проверить условие

$$T_M^\delta(\bar{\tau}_\delta^{[3]}) \div T_M^\delta(\bar{\tau}_\delta^{[4]}) \leq \varepsilon_\omega, \quad (6.15)$$

где  $\bar{\tau}_\delta^{[3]} = \tau_\delta^{[3]} + q^{[3]}T_\delta^{[3]}$ .

Если это условие выполняется, то

$$\hat{\omega}_\delta = [T_M^\delta(\bar{\tau}_\delta^{[4]})]^{-1}. \quad (6.16)$$

В противном случае возвратиться к операции 3, полагая  $\omega_\delta^{[5]} = 2\omega_\delta^{[4]}$ , и т.д.

- Вычислить испытательные частоты

$$\omega_1 = \hat{\omega}_n, \quad \omega_k = n_k \hat{\omega}_n \quad k = \overline{2, n}, \quad (6.17)$$

где  $n_k$  ( $k = \overline{2, n}$ ) – числа, являющиеся целой частью отношений частот

$$n_k = \left[ \frac{\tilde{\omega}_k}{\hat{\omega}_n} \right] \quad k = \overline{2, n}, \quad (6.18)$$

где  $\lg \tilde{\omega}_k = \lg \hat{\omega}_n + \frac{\lg \hat{\omega}_\delta - \lg \hat{\omega}_n}{n-1} (k-1)$  ( $k = \overline{2, n}$ ).

- Задаваясь весовыми коэффициентами  $\bar{\rho}_k$  амплитуд  $\rho_k$  ( $k = \overline{1, n}$ ), приложить к объекту (2.1) испытательный сигнал (2.5) и определить амплитуду  $\rho = \rho^{[1]}$  на основе алгоритма 2.
- Повторить операцию 1 при  $\omega_k = \omega_k^{[1]}$  и  $\rho_k = \rho^{[1]} \bar{\rho}_k$  ( $k = \overline{1, n}$ ). Если при достаточно большом  $\tau$  хотя бы одно из  $n$  условий (6.5) нарушается, например  $\mu$ -е, то возвратиться к операции 5, полагая  $n_\mu := n_\mu + 1 \neq n_{\mu+1}$  либо  $n_\mu := n_\mu - 1 \neq n_{\mu-1}$  и т.д.

8. Используя алгоритм 1, идентифицировать объект (2.1) и убедиться, что его собственные частоты находятся в интервале  $[\hat{\omega}_n, \hat{\omega}_e]$ . Если это условие нарушается, то возвратиться к пункту 1 и уменьшить в два раза параметры  $\varepsilon_T$ ,  $\varepsilon_\omega$ ,  $\varepsilon_k^\alpha$  и  $\varepsilon_k^\beta$  ( $k = \overline{1, n}$ ), и т.д.

**Примечание 8** Уточнение весовых коэффициентов амплитуд

$$\bar{\rho}_k = (\hat{\alpha}_k^2 + \hat{\beta}_k^2)^{-1/2} \quad k = \overline{1, n} \quad (6.19)$$

осуществляется по результатам операции 8 алгоритма 3. Соотношение (6.19) получается из слагаемого

$$y^u(t) = \rho \sum_{k=1}^n \bar{\rho}_k \sqrt{\hat{\alpha}_k^2 + \hat{\beta}_k^2} \sin(\omega_k t + \varphi_k) \quad (6.20)$$

выхода объекта (2.1), порождаемого испытательным сигналом (2.5), и обеспечивает нормировку функций фильтруемости. В самом деле, если принять (6.19), то амплитуды различных испытательных гармоник в компоненте  $y^u(t)$  будут близки. ■

### 6.3 Самонастройка показателя экспоненты

Самонастройка испытательных частот для идентификации неустойчивого объекта осуществляется на основе алгоритма 3, в котором, в соответствии с примечанием 3, следует заменить  $u(t)$  на  $\tilde{u}(t)$  и  $y(t)$  на  $\tilde{y}(t)$ . При этом должно быть известно значение показателя  $\lambda$ . Его можно задать априори, если принять  $\lambda$  достаточно большим числом. В этом случае, в соответствии с (2.16), время идентификации может оказаться недопустимо малым. Поэтому необходимо настроить число  $\lambda$  достаточно близко к неизвестному числу  $s^*$ . Для этой цели используем

#### Алгоритм 4 (самонастройки показателя $\lambda$ )

- (а) Принять  $\lambda = C_0$ .

Если оценка степени неустойчивости  $C_0$  объекта (2.1) неизвестна, можно принять  $\lambda = 1$ . Если же информация об устойчивости объекта отсутствует вообще, самонастройку можно начать с  $\lambda = 0$  и закончить при устойчивом объекте, либо перейти к  $\lambda = 1$  в противном случае.

- (б) Возбудить объект (2.1) испытательным сигналом

$$u(t) = \rho e^{\lambda(t-t_0)} \sin \omega(t - t_0), \quad t \geq t_0 \quad (6.21)$$

с некоторой амплитудой  $\rho$  и частотой  $\omega$ . Выход объекта приложить ко входу фильтра Фурье (2.11).

- (в) Проверить необходимые условия сходимости оценок частотных параметров

$$|\alpha(\tau) - \alpha(\tau - T_\delta)| \leq \varepsilon_\lambda^\alpha, \quad |\beta(\tau) - \beta(\tau - T_\delta)| \leq \varepsilon_\lambda^\beta, \quad \tau \geq \tau^* \quad (6.22)$$

объекта (2.1), в которых  $\varepsilon_\lambda^\alpha$  и  $\varepsilon_\lambda^\beta$  – заданные достаточно малые числа. Если они нарушаются, вернуться к операции (б) и повторять её, удваивая каждый раз значение  $\lambda := 2\lambda$  до тех пор, пока эти условия не выполняются. Если же эти условия

выполняются, повторять операцию (б) с  $\lambda := \lambda/2$  до тех пор, пока не будет найдено минимальное значение  $\lambda$ , при котором условия (6.22) выполняются.

Пусть  $\lambda_n$  – значение  $\lambda$ , такое, что при  $\lambda < \lambda_n$  условия (6.22) нарушаются, а  $\lambda_e$  – значение, такое, что при  $\lambda > \lambda_e$  они выполняются.

(г) Проверить выполнение условия

$$\lambda_e - \lambda_n \leq \varepsilon_\lambda, \quad (6.23)$$

где  $\varepsilon_\lambda$  – заданное число, характеризующее точность самонастройки показателя экспоненты. Если оно выполняется, т.е. если  $\lambda_e$  достаточно близка к  $s^*$ , принять  $\lambda = \lambda_e$ . В противном случае методом половинного деления сужать интервал  $[\lambda_n, \lambda_e]$  до выполнения условия (6.23), т.е. при значении  $\lambda = \frac{\lambda_n + \lambda_e}{2}$  выполнять операцию (б), присваивать  $\lambda_n = \lambda$ , если условия (6.22) нарушаются, либо  $\lambda_e = \lambda$  если они выполняются, и затем переходить к операции (г). ■

**Утверждение 8** Если  $\lambda < s^*$ , то всегда существует момент времени  $\tau = \tau_\lambda^*$ , начиная с которого условия (6.22) нарушаются.

Доказательство утверждения приведено в приложении П.8.

## 7 Пример

Рассмотрим полностью управляемый асимптотически устойчивый объект, описываемый уравнением

$$d_3 \ddot{y} + d_2 \dot{y} + d_1 y + y = k_1 \dot{u} + k_0 u + f, \quad (7.1)$$

с неизвестными коэффициентами и неизвестным ограниченным возмущением.

**Задача 3** Найти амплитуды и частоты испытательного сигнала (2.5), при которых выполняются условия малости возбуждения (3.5) с  $\delta_y = 0.4$  и ФФ-фильтруемости возмущения так, чтобы ошибки идентификации удовлетворяли требованиям

$$\hat{d}_i \div d_i \leq 0.2 \quad i = \overline{1, 3}, \quad \hat{k}_j \div k_j \leq 0.2 \quad j = \overline{0, 1}. \quad (7.2)$$

**Примечание 9** Истинный объект описывается уравнением

$$0.2 \ddot{y} + 1.24 \dot{y} + 5.24 y + y = -0.4 \dot{u} + u + f, \quad (7.3)$$

где  $f(t) = 5 \operatorname{sign} \sin 2.1t$ . Его передаточная функция

$$w(s) = \frac{25(-0.4s + 1)}{(5s + 1)(s^2 + 6s + 25)}$$

взята из часто используемого примера [9]. ■

В пакете АДАПЛАБ [10] были проведены численные эксперименты над объектом (7.3). Настройка испытательного сигнала осуществлялась при следующих параметрах алгоритмов 2 и 3:  $\delta_y = 0.5$ ,  $\varepsilon_\omega = \varepsilon_T = 0.2$ ;  $\bar{\rho}_1 = 1$ ,  $\bar{\rho}_2 = 10$ ,  $\bar{\rho}_3 = 100$ .

Опишем результаты численных экспериментов для каждой операции алгоритма 3.

1. При частоте  $\omega_n^{[1]} = 0.05$  и времени фильтрации  $\tau_n^{[1]} = 3750$  с. на основе алгоритма 2 была определена допустимая амплитуда  $\rho_n^{[1]} = 0.03$ . Для этих значений амплитуды и частоты было получено значение  $T_m^n(\bar{\tau}_n^{[1]}) = 5.27$ .
2. При частоте  $\omega_n^{[2]} = 0.0135$  и времени фильтрации  $\tau_n^{[2]} = 4800$  с. была определена допустимая амплитуда  $\rho_n^{[2]} = 0.03$  и получено значение  $T_m^n(\bar{\tau}_n^{[2]}) = 4.8$  и, таким образом, искомая нижняя граница испытательных частот  $\hat{\omega}_n = 0.208$ .
3. При частоте  $\omega_6^{[3]} = 20$  и времени фильтрации  $\tau_6^{[3]} = 6.28$  с. была определена допустимая амплитуда  $\rho_6^{[3]} = 1$  и получено значение  $T_m^6(\bar{\tau}_6^{[3]}) = 0.095$ .
4. При частоте  $\omega_6^{[4]} = 74$  и времени фильтрации  $\tau_6^{[4]} = 3.14$  с. была определена допустимая амплитуда и получено значение  $T_m^6(\bar{\tau}_6^{[4]}) = 0.106$  и, таким образом, искомая верхняя граница испытательных частот  $\hat{\omega}_6 = 9.4$ .
5. Принимаем следующие значения испытательных частот:  $\omega_1 = 0.208$ ,  $\omega_2 = 4.16$  и  $\omega_3 = 8.32$ . Прикладывая к объекту (7.3) испытательный сигнал:  $u(t) = u^* \cdot (\sin 0.208t + 10 \sin 4.16t + 100 \sin 8.32t)$ , определяем амплитуду  $\rho$  на основе алгоритма 2.
6. Используя алгоритм 1 были получены следующие значения оценок частотных параметров:

$$\begin{aligned} \hat{\alpha}_1 &= 0.408 & , & & \hat{\beta}_1 &= -0.447 & ; \\ \hat{\alpha}_2 &= -0.67 \cdot 10^{-1}, & & & \hat{\beta}_2 &= -0.159 \cdot 10^{-2}; \\ \hat{\alpha}_3 &= 0.22 \cdot 10^{-5}, & & & \hat{\beta}_3 &= 0.27 \cdot 10^{-1}; \end{aligned}$$

по которым были идентифицированы коэффициенты объекта (7.3):

$$\begin{aligned} \hat{d}_3 &= 0.162, & \hat{d}_2 &= 1.03, & \hat{d}_1 &= 4.23; \\ \hat{k}_1 &= -0.335, & \hat{k}_0 &= 0.78. \end{aligned}$$

Автор благодарен Ю.Ф. Орлову за внимательное прочтение рукописи и ряд полезных предложений, которые были учтены.

## П.1 Матричная форма частотных уравнений

Уравнения (2.13) при  $s_k = j\omega_k$  ( $k = \overline{1, n}$ ) и  $\gamma = n - 1$  примут вид<sup>1</sup>

$$\sum_{i=0}^{n-1} (j\omega_k)^i k_i - (\alpha_k + j\beta_k) \sum_{i=1}^n (j\omega_k)^i d_i = \alpha_k + j\beta_k \quad k = \overline{1, n}. \quad (\text{П.1})$$

Последние можно представить в виде системы с вещественными коэффициентами

$$\begin{aligned} \sum_{i=0}^{\lfloor \frac{n}{2} \rfloor - 1} (-1)^i \omega_k^{2i} k_{2i} - \alpha_k \sum_{i=1}^{\lfloor \frac{n}{2} \rfloor} (-1)^i \omega_k^{2i} d_{2i} - \beta_k \sum_{i=1}^{\lfloor \frac{n}{2} \rfloor} (-1)^i \omega_k^{2i-1} d_{2i-1} &= \alpha_k \\ \sum_{i=0}^{\lfloor \frac{n}{2} \rfloor - 1} (-1)^i \omega_k^{2i+1} k_{2i+1} - \alpha_k \sum_{i=1}^{\lfloor \frac{n}{2} \rfloor} (-1)^{i-1} \omega_k^{2i-1} d_{2i-1} - \beta_k \sum_{i=1}^{\lfloor \frac{n}{2} \rfloor} (-1)^i \omega_k^{2i} d_{2i} &= \beta_k \end{aligned} \quad k = \overline{1, n}, \quad (\text{П.2})$$

где  $\lfloor \cdot \rfloor$  и  $\{ \cdot \}$  – ближайšie к  $\cdot$  целые числа, такие что  $\lfloor \cdot \rfloor \leq \cdot \leq \{ \cdot \}$ .

Введём вектора

$$\mathbf{h}^{(i)} = (-1)^{\lfloor \frac{i}{2} \rfloor} \begin{bmatrix} \omega_1^i \\ \omega_2^i \\ \vdots \\ \omega_n^i \end{bmatrix}, \quad \mathbf{h}_\alpha^{(i)} = (-1)^{\lfloor \frac{i}{2} \rfloor} \begin{bmatrix} \alpha_1 \omega_1^i \\ \alpha_2 \omega_2^i \\ \vdots \\ \alpha_n \omega_n^i \end{bmatrix}, \quad \mathbf{h}_\beta^{(i)} = (-1)^{\lfloor \frac{i}{2} \rfloor} \begin{bmatrix} \beta_1 \omega_1^i \\ \beta_2 \omega_2^i \\ \vdots \\ \beta_n \omega_n^i \end{bmatrix} \quad i = \overline{0, n}, \quad (\text{П.3})$$

и выразим через них систему (П.2):

$$\begin{aligned} \sum_{i=0}^{\lfloor \frac{n}{2} \rfloor - 1} \mathbf{h}^{(2i)} k_{2i} - \sum_{i=1}^{\lfloor \frac{n}{2} \rfloor} \mathbf{h}_\alpha^{(2i)} d_{2i} - \sum_{i=1}^{\lfloor \frac{n}{2} \rfloor} \mathbf{h}_\beta^{(2i-1)} d_{2i-1} &= \mathbf{h}_\alpha^{(0)}, \\ \sum_{i=0}^{\lfloor \frac{n}{2} \rfloor - 1} \mathbf{h}^{(2i+1)} k_{2i+1} - \sum_{i=1}^{\lfloor \frac{n}{2} \rfloor} \mathbf{h}_\beta^{(2i)} d_{2i} - \sum_{i=1}^{\lfloor \frac{n}{2} \rfloor} \mathbf{h}_\alpha^{(2i-1)} d_{2i-1} &= \mathbf{h}_\beta^{(0)}. \end{aligned} \quad (\text{П.4})$$

Чтобы записать эту систему в матричном виде, введём вектор

$$\mathbf{z}^T = \left[ k_0, k_2, \dots, k_{2\lfloor \frac{n}{2} \rfloor - 2}; k_1, k_3, \dots, k_{2\lfloor \frac{n}{2} \rfloor - 1}; d_2, d_4, \dots, d_{2\lfloor \frac{n}{2} \rfloor}; d_1, d_3, \dots, d_{2\lfloor \frac{n}{2} \rfloor - 1} \right] \quad (\text{П.5})$$

и матрицу

$$M = \begin{pmatrix} \mathbf{h}^{(0)} & \mathbf{h}^{(2)} & \dots & \mathbf{h}^{(2\lfloor \frac{n}{2} \rfloor - 2)} & \mathbf{0} & \mathbf{0} & \dots & \mathbf{0} \\ \mathbf{0} & \mathbf{0} & \dots & \mathbf{0} & \mathbf{h}^{(1)} & \mathbf{h}^{(3)} & \dots & \mathbf{h}^{(2\lfloor \frac{n}{2} \rfloor - 1)} \\ -\mathbf{h}_\alpha^{(2)} & -\mathbf{h}_\alpha^{(4)} & \dots & -\mathbf{h}_\alpha^{(2\lfloor \frac{n}{2} \rfloor)} & -\mathbf{h}_\beta^{(1)} & -\mathbf{h}_\beta^{(3)} & \dots & -\mathbf{h}_\beta^{(2\lfloor \frac{n}{2} \rfloor - 1)} \\ -\mathbf{h}_\beta^{(2)} & -\mathbf{h}_\beta^{(4)} & \dots & -\mathbf{h}_\beta^{(2\lfloor \frac{n}{2} \rfloor)} & -\mathbf{h}_\alpha^{(1)} & -\mathbf{h}_\alpha^{(3)} & \dots & -\mathbf{h}_\alpha^{(2\lfloor \frac{n}{2} \rfloor - 1)} \end{pmatrix}. \quad (\text{П.6})$$

Тогда уравнение (П.4) примет вид

$$M\mathbf{z} = \begin{bmatrix} \mathbf{h}_\alpha^{(0)} \\ \mathbf{h}_\beta^{(0)} \end{bmatrix}. \quad (\text{П.7})$$

<sup>1</sup>Здесь и далее индекс « $\wedge$ » над  $d_i$ ,  $k_i$ ,  $\alpha_k$ ,  $\beta_k$ ,  $\mathbf{h}_\alpha^{(j)}$ ,  $\mathbf{h}_\beta^{(j)}$ ,  $M$  и  $\mathbf{z}$  для простоты опущен.

## П.2 Связь частотных параметров с коэффициентами передаточной функции объекта

Очевидно, что

$$w(j\omega) = \frac{k_{\Re}(\omega) + jk_{\Im}(\omega)}{d_{\Re}(\omega) + jd_{\Im}(\omega)}, \quad (\text{П.8})$$

где

$$\begin{aligned} d_{\Re}(\omega) = \text{Re}d(j\omega) &= \sum_{q=0}^{\lfloor \frac{n}{2} \rfloor} (-1)^q \omega^{2q} d_{2q}, & d_{\Im}(\omega) = \text{Im}d(j\omega) &= \sum_{q=0}^{\lfloor \frac{n}{2} \rfloor - 1} (-1)^q \omega^{2q+1} d_{2q+1}; \\ k_{\Re}(\omega) = \text{Re}k(j\omega) &= \sum_{q=0}^{\lfloor \frac{\gamma}{2} \rfloor} (-1)^q \omega^{2q} k_{2q}, & k_{\Im}(\omega) = \text{Im}k(j\omega) &= \sum_{q=0}^{\lfloor \frac{\gamma}{2} \rfloor - 1} (-1)^q \omega^{2q+1} d_{2q+1}; \end{aligned} \quad (\text{П.9})$$

а  $\lfloor \cdot \rfloor$  и  $\{ \cdot \}$  – ближайшие к  $\cdot$  целые числа, такие, что  $\lfloor \cdot \rfloor \leq \cdot \leq \{ \cdot \}$ .

Из (2.4) и (П.8) следует

$$\alpha_k = \frac{k_{\Re}(\omega_k)d_{\Re}(\omega_k) + k_{\Im}(\omega_k)d_{\Im}(\omega_k)}{d_{\Re}^2(\omega_k) + d_{\Im}^2(\omega_k)}, \quad \beta_k = \frac{k_{\Im}(\omega_k)d_{\Re}(\omega_k) - k_{\Re}(\omega_k)d_{\Im}(\omega_k)}{d_{\Re}^2(\omega_k) + d_{\Im}^2(\omega_k)} \quad k = \overline{1, n}. \quad (\text{П.10})$$

Подставляя выражения (П.9) в (П.10) и производя перегруппировку, получим

$$\alpha_k = \frac{\sum_{q=0}^{\lfloor \frac{n+\gamma}{2} \rfloor} \omega_k^{2q} \sum_{\sigma_q^\alpha} (-1)^{i+q} d_i k_j}{\sum_{q=0}^n \omega_k^{2q} \sum_{\sigma_q} (-1)^{i+q} d_i d_j}, \quad \beta_k = \frac{\sum_{q=0}^{\lfloor \frac{n+\gamma}{2} \rfloor - 1} \omega_k^{2q+1} \sum_{\sigma_q^\beta} (-1)^{i+q} d_i k_j}{\sum_{q=0}^n \omega_k^{2q} \sum_{\sigma_q} (-1)^{i+q} d_i d_j} \quad k = \overline{1, n},$$

$$\begin{aligned} \sigma_q^\alpha &= \left\{ i, j : i + j = 2q \quad , \quad i = \overline{0, n}, j = \overline{0, \gamma} \right\}, \\ \sigma_q^\beta &= \left\{ i, j : i + j = 2q + 1, i = \overline{0, n}, j = \overline{0, \gamma} \right\}, \\ \sigma_q &= \left\{ i, j : i + j = 2q \quad , \quad i = \overline{0, n}, j = \overline{0, n} \right\}. \end{aligned}$$

## П.3 Доказательство свойства 1

Из соотношений (П.8) и (П.10) очевидно, что  $\alpha_k \neq 0$  и  $\beta_k \neq 0$  ( $k = \overline{1, n}$ ) для любого набора испытательных частот  $\omega_k \in \Omega_n$  ( $k = \overline{1, n}$ ).

Справедливость же свойства 1 для относительных ошибок фильтрации устанавливается простой подстановкой (4.10) и (4.7) в соотношение (4.11). После несложных преобразований получим, учитывая, что  $m_0 = 1$

$$\begin{aligned} \frac{\alpha_k^n - \alpha_k}{\alpha_k} &= \omega_k^2 \left[ \frac{l_0 \sum_{q=1}^n m_q \omega_k^{2q-2} - \sum_{q=1}^{\lfloor \frac{n+\gamma}{2} \rfloor} l_{2q} \omega_k^{2q-2}}{\sum_{q=0}^{\lfloor \frac{n+\gamma}{2} \rfloor} l_{2q} \omega_k^{2q}} \right] \quad k = \overline{1, n}, \quad (\text{П.11}) \\ \frac{\beta_k^n - \beta_k}{\beta_k} &= \omega_k^2 \left[ \frac{\left( \sum_{q=1}^{\lfloor \frac{n}{2} \rfloor - 1} l_{2q+1} \omega_k^{2q-2} \right) \left( 1 + \sum_{q=1}^n m_q \omega_k^{2q} \right) - l_1 \sum_{q=1}^n m_q \omega_k^{2q-2} - \sum_{q=1}^{\lfloor \frac{n+\gamma}{2} \rfloor - 1} l_{2q+1} \omega_k^{2q-2}}{\sum_{q=0}^{\lfloor \frac{n+\gamma}{2} \rfloor - 1} l_{2q+1} \omega_k^{2q}} \right]. \end{aligned}$$

Нетрудно видеть, что дробно-рациональные функции в квадратных скобках ограничены для любых  $\omega_k \in \Omega_n$  ( $k = \overline{1, n}$ ) если  $l_0 \neq 0$  и  $l_1 \neq 0$  ( $k_0 \neq 0$  и  $k_1 \neq k_0 d_1$ ). Поэтому всегда можно найти (достаточно малые) частоты  $\omega_k \in \Omega_n$  ( $k = \overline{1, n}$ ), для которых выполняются неравенства (4.11).

## П.4 Доказательство леммы 1

Найдём возмущение, при котором выполняются равенства (4.13). Пусть

$$f(t) = \sum_{k=1}^{2n} \rho_k^f \sin \omega_k^f (t - t_0), \quad t \geq t_0, \quad (\text{П.12})$$

где  $\rho_k^f$  и  $\omega_k^f$  ( $k = \overline{1, 2n}$ ) – неизвестные числа, которые будем определять из условия (4.13). При этом будем полагать, что частоты возмущения и испытательного сигнала не совпадают:

$$\omega_i^f \neq \omega_j \quad i = \overline{1, 2n} \quad j = \overline{1, n}, \quad (\text{П.13})$$

так как в противном случае нарушается условие (2.8) сходимости идентификации. Кроме того, амплитуда внешнего возмущения (П.12) должна удовлетворять условию

$$\sum_{i=1}^{2n} |\rho_i^f| \leq f^*, \quad (\text{П.14})$$

которого достаточно для выполнения ограничения (2.2).

Найдём связь ошибок фильтрации  $\Delta \alpha_k(\tau)$  и  $\Delta \beta_k(\tau)$  ( $k = \overline{1, n}$ ) с функцией  $f(t)$ .

Нетрудно проверить [6], что

$$\Delta \alpha_k(\tau) = \ell_k^\alpha(\tau), \quad \Delta \beta_k(\tau) = \ell_k^\beta(\tau) \quad k = \overline{1, n}. \quad (\text{П.15})$$

Чтобы найти выражения для  $\ell_k^\alpha(\tau)$  и  $\ell_k^\beta(\tau)$  ( $k = \overline{1, n}$ ), построим функцию  $\bar{y}(t)$ . Запишем уравнение объекта (2.1) при  $u = 0$  в форме Коши

$$\dot{\mathbf{x}} = A\mathbf{x} + \boldsymbol{\psi}f, \quad \bar{\mathbf{y}} = \mathbf{c}^T \mathbf{x}, \quad (\text{П.16})$$

где  $\boldsymbol{\psi}$  – некоторый вектор-столбец.

Решение этого уравнения с учётом (П.12) имеет вид

$$\bar{\mathbf{y}}(t) = \mathbf{c}^T e^{A(t-t_0)} \boldsymbol{\phi} + \sum_{k=1}^{2n} \rho_k^f \left[ \alpha_k^f \sin \omega_k^f (t - t_0) + \beta_k^f \cos \omega_k^f (t - t_0) \right], \quad (\text{П.17})$$

где  $\boldsymbol{\phi} = \mathbf{x}(t_0) + \sum_{k=1}^{2n} \rho_k^f \omega_k^f (E \omega_k^{f2} + A^2)^{-1} \boldsymbol{\psi}$ ,  $\alpha_k^f = \operatorname{Re} w^f(j\omega_k^f)$ ,  $\beta_k^f = \operatorname{Im} w^f(j\omega_k^f)$  и  $w^f(j\omega_k^f) = \mathbf{c}^T (jE \omega_k^f - A)^{-1} \boldsymbol{\psi}$  ( $k = \overline{1, 2n}$ ).

Подставляя (П.17) в функции фильтруемости (2.7), получим

$$\begin{aligned} \ell_k^\alpha(\tau) &= \frac{2}{\rho_k \tau} \left\{ \mathbf{c}^T \Theta_k^\alpha(\tau) \boldsymbol{\phi} + \sum_{i=1}^{2n} \rho_i^f \left[ \alpha_i^f \theta_{ki}^\alpha(\tau) + \beta_i^f \vartheta_{ki}^\alpha(\tau) \right] \right\}, \\ \ell_k^\beta(\tau) &= \frac{2}{\rho_k \tau} \left\{ \mathbf{c}^T \Theta_k^\beta(\tau) \boldsymbol{\phi} + \sum_{i=1}^{2n} \rho_i^f \left[ \alpha_i^f \theta_{ki}^\beta(\tau) + \beta_i^f \vartheta_{ki}^\beta(\tau) \right] \right\}, \end{aligned} \quad (\text{П.18})$$

где

$$\begin{aligned}
\Theta_k^\alpha(\tau) &= e^{A(t_F-t_0)} \left\{ A (E\omega_k^2 + A^2)^{-1} \left[ e^{A\tau} \sin \omega_k(\tau + t_F - t_0) - E \sin \omega_k(t_F - t_0) \right] - \right. \\
&\quad \left. - E\omega_k(E\omega_k^2 + A^2)^{-1} \left[ e^{A\tau} \cos \omega_k(\tau + t_F - t_0) - E \cos \omega_k(t_F - t_0) \right] \right\}, \\
\theta_{ki}^\alpha(\tau) &= \frac{-\omega_i^f}{\omega_i^{f2} - \omega_k^2} \left[ \sin \omega_k(\tau + t_F - t_0) \cos \omega_i^f(\tau + t_F - t_0) - \sin \omega_k(t_F - t_0) \cos \omega_i^f(t_F - t_0) \right] + \\
&\quad + \frac{\omega_k}{\omega_i^{f2} - \omega_k^2} \left[ \sin \omega_i^f(\tau + t_F - t_0) \cos \omega_k(\tau + t_F - t_0) - \sin \omega_i^f(t_F - t_0) \cos \omega_k(t_F - t_0) \right], \\
\vartheta_{ki}^\alpha(\tau) &= \frac{\omega_i^f}{\omega_i^{f2} - \omega_k^2} \left[ \sin \omega_k(\tau + t_F - t_0) \sin \omega_i^f(\tau + t_F - t_0) - \sin \omega_k(t_F - t_0) \sin \omega_i^f(t_F - t_0) \right] + \\
&\quad + \frac{\omega_k}{\omega_i^{f2} - \omega_k^2} \left[ \cos \omega_i^f(\tau + t_F - t_0) \cos \omega_k(\tau + t_F - t_0) - \cos \omega_i^f(t_F - t_0) \cos \omega_k(t_F - t_0) \right]; \\
\Theta_k^\beta(\tau) &= e^{A(t_F-t_0)} \left\{ A (E\omega_k^2 + A^2)^{-1} \left[ e^{A\tau} \cos \omega_k(\tau + t_F - t_0) - E \cos \omega_k(t_F - t_0) \right] + \right. \\
&\quad \left. + E\omega_k(E\omega_k^2 + A^2)^{-1} \left[ e^{A\tau} \sin \omega_k(\tau + t_F - t_0) - E \sin \omega_k(t_F - t_0) \right] \right\}, \\
\theta_{ki}^\beta(\tau) &= \frac{-\omega_i^f}{\omega_i^{f2} - \omega_k^2} \left[ \cos \omega_k(\tau + t_F - t_0) \cos \omega_i^f(\tau + t_F - t_0) - \cos \omega_k(t_F - t_0) \cos \omega_i^f(t_F - t_0) \right] + \\
&\quad + \frac{-\omega_k}{\omega_i^{f2} - \omega_k^2} \left[ \sin \omega_i^f(\tau + t_F - t_0) \sin \omega_k(\tau + t_F - t_0) - \sin \omega_i^f(t_F - t_0) \sin \omega_k(t_F - t_0) \right], \\
\vartheta_{ki}^\beta(\tau) &= \frac{\omega_i^f}{\omega_i^{f2} - \omega_k^2} \left[ \cos \omega_k(\tau + t_F - t_0) \sin \omega_i^f(\tau + t_F - t_0) - \cos \omega_k(t_F - t_0) \sin \omega_i^f(t_F - t_0) \right] + \\
&\quad + \frac{-\omega_k}{\omega_i^{f2} - \omega_k^2} \left[ \cos \omega_i^f(\tau + t_F - t_0) \sin \omega_k(\tau + t_F - t_0) - \cos \omega_i^f(t_F - t_0) \sin \omega_k(t_F - t_0) \right].
\end{aligned}$$

Пусть  $t_F = t_0$ ;  $\tau^* = \frac{2\pi}{\omega_\delta} q^*$ , где  $q^*$  – некоторое целое число;  $\omega_k = n_k \omega_\delta$ , где  $n_k$  ( $k = \overline{1, n}$ ) – целые числа. При этих условиях

$$\begin{aligned}
\theta_{ki}^\alpha(\tau^*) &= \frac{-\omega_i^f}{\omega_i^{f2} - \omega_k^2} \left[ \sin n_k \omega_\delta \frac{2\pi}{\omega_\delta} q^* \right] + \frac{\omega_k}{\omega_i^{f2} - \omega_k^2} \left[ \sin \omega_i^f \frac{2\pi}{\omega_\delta} q^* \right] = \frac{\omega_k}{\omega_i^{f2} - \omega_k^2} \left[ \sin \omega_i^f \frac{2\pi}{\omega_\delta} q^* \right], \\
\vartheta_{ki}^\alpha(\tau^*) &= \frac{\omega_k}{\omega_i^{f2} - \omega_k^2} \left[ \cos \omega_i^f \frac{2\pi}{\omega_\delta} q^* - 1 \right], \\
\theta_{ki}^\beta(\tau^*) &= \frac{-\omega_i^f}{\omega_i^{f2} - \omega_k^2} \left[ \cos \omega_i^f \frac{2\pi}{\omega_\delta} q^* - 1 \right], \\
\vartheta_{ki}^\beta(\tau^*) &= \frac{\omega_i^f}{\omega_i^{f2} - \omega_k^2} \left[ \sin \omega_i^f \frac{2\pi}{\omega_\delta} q^* \right] \quad k = \overline{1, n} \quad i = \overline{1, 2n}.
\end{aligned}$$

После подстановки (П.15) и (П.18) в (4.13) получим следующую систему линейных алгебраических уравнений для определения амплитуд  $\rho_k^f$  ( $k = \overline{1, 2n}$ ) возмущения (П.12):

$$\sum_{i=1}^{2n} q_{ki}^\alpha(\tau^*) \rho_i^f = -\frac{\varepsilon_\alpha^n(\omega_k)}{\omega_k} - \frac{e_k^\alpha(\tau^*)}{\omega_k}, \quad \sum_{i=1}^{2n} q_{ki}^\beta(\tau^*) \rho_i^f = -\varepsilon_\beta^n(\omega_k) - e_k^\beta(\tau^*) \quad k = \overline{1, n}, \quad (\text{П.19})$$

где

$$\begin{aligned}
q_{ki}^\alpha(\tau^*) &= \frac{2}{\rho_k \tau^*} \left[ \alpha_i^f \frac{1}{\omega_i^{f2} - \omega_k^2} \sin \omega_i^f \frac{2\pi}{\omega_\delta} q^* + \beta_i^f \frac{1}{\omega_i^{f2} - \omega_k^2} \left( \cos \omega_i^f \frac{2\pi}{\omega_\delta} q^* - 1 \right) \right] \quad k = \overline{1, n} \\
q_{ki}^\beta(\tau^*) &= \frac{2}{\rho_k \tau^*} \left[ \alpha_i^f \frac{-\omega_i^f}{\omega_i^{f2} - \omega_k^2} \left( \cos \omega_i^f \frac{2\pi}{\omega_\delta} q^* - 1 \right) + \beta_i^f \frac{\omega_i^f}{\omega_i^{f2} - \omega_k^2} \sin \omega_i^f \frac{2\pi}{\omega_\delta} q^* \right] \quad i = \overline{1, 2n}
\end{aligned} \quad (\text{П.20})$$



а  $e_k^\alpha(\tau^*) = \frac{2}{\rho_k \tau^*} \mathbf{c}^T \Theta_k^\alpha(\tau^*) \phi$  и  $e_k^\beta(\tau^*) = \frac{2}{\rho_k \tau^*} \mathbf{c}^T \Theta_k^\beta(\tau^*) \phi$  – значения (при  $\tau = \tau^*$ ) составляющих выхода фильтра Фурье, вызванных исчезающими функциями, сопровождающими вынужденные колебания.

Рассмотрим матрицу при неизвестных этой системы

$$Q = \begin{pmatrix} q_{11}^\alpha(\tau^*) & q_{12}^\alpha(\tau^*) & \cdots & q_{1,2n}^\alpha(\tau^*) \\ q_{21}^\alpha(\tau^*) & q_{22}^\alpha(\tau^*) & \cdots & q_{2,2n}^\alpha(\tau^*) \\ \vdots & \vdots & \ddots & \vdots \\ q_{n1}^\alpha(\tau^*) & q_{n2}^\alpha(\tau^*) & \cdots & q_{n,2n}^\alpha(\tau^*) \\ q_{11}^\beta(\tau^*) & q_{12}^\beta(\tau^*) & \cdots & q_{1,2n}^\beta(\tau^*) \\ q_{21}^\beta(\tau^*) & q_{22}^\beta(\tau^*) & \cdots & q_{2,2n}^\beta(\tau^*) \\ \vdots & \vdots & \ddots & \vdots \\ q_{n1}^\beta(\tau^*) & q_{n2}^\beta(\tau^*) & \cdots & q_{n,2n}^\beta(\tau^*) \end{pmatrix}. \quad (\text{П.21})$$

Выбирая  $\omega_i^f > 0$  ( $i = \overline{1, 2n}$ ) при фиксированных  $\omega_k$  ( $k = \overline{1, n}$ ), всегда можно обеспечить выполнение условия

$$\det Q \neq 0 \quad (\text{П.22})$$

(заметим, что это условие может нарушаться, и в таком случае достаточно лишь совместности системы (П.19)). Решая эту систему, найдём искомые  $\rho_i^f$  ( $i = \overline{1, 2n}$ ), при которых выполняется равенство (4.13).

При этом может оказаться, что для найденных амплитуд  $\rho_i^f$  ( $i = \overline{1, 2n}$ ) нарушается условие (П.14). Для выполнения этого условия будем уменьшать числа  $\frac{\varepsilon_\alpha^n(\omega_k)}{\omega_k}$  и  $\varepsilon_\beta^n(\omega_k)$  ( $k = \overline{1, n}$ ) в правых частях уравнений (П.19) путём уменьшения  $\omega_k$  ( $k = \overline{1, n}$ ). Для того чтобы амплитуды  $\rho_i^f$  ( $i = \overline{1, 2n}$ ) уменьшались пропорционально уменьшению правых частей, достаточно независимость матрицы  $Q$  от испытательных частот  $\omega_k$  ( $k = \overline{1, n}$ ). Из выражений (П.20) следует, что коэффициенты матрицы  $Q$  будут слабо зависеть от  $\omega_k$  ( $k = \overline{1, n}$ ), если частоты  $\omega_i^f$  ( $i = \overline{1, 2n}$ ) существенно превышают частоты  $\omega_k$  ( $k = \overline{1, n}$ ).

## П.5 Доказательство свойства 2

Рассмотрим для простоты случай, когда  $n$  – чётное. Подставим в (П.2) значения (4.15):

$$\sum_{i=0}^{n/2-1} (-1)^i \omega_k^{2i} \hat{k}_{2i} = \hat{\alpha}_k, \quad \sum_{i=0}^{n/2-1} (-1)^i \omega_k^{2i+1} \hat{k}_{2i+1} = \hat{\beta}_k \quad k = \overline{1, n}. \quad (\text{П.23})$$

Аппроксимирующие функции (4.10) при чётном  $n$  и значениях (4.15) примут вид

$$\alpha_k^n = l_0 = \hat{k}_0, \quad \beta_k^n = \sum_{i=0}^{n/2-1} l_{2i+1} \omega_k^{2i+1} = \sum_{i=0}^{n/2-1} (-1)^i \hat{k}_{2i+1} \omega_k^{2i+1} \quad k = \overline{1, n}. \quad (\text{П.24})$$

Подставляя (П.23) и (П.24) в (4.14), получим

$$\sum_{i=0}^{n/2-1} (-1)^i \omega_k^{2i} \hat{k}_{2i} = \hat{k}_0, \quad \sum_{i=0}^{n/2-1} (-1)^i \omega_k^{2i+1} \hat{k}_{2i+1} \equiv \sum_{i=0}^{n/2-1} (-1)^i \omega_k^{2i+1} \hat{k}_{2i+1} \quad k = \overline{1, n}. \quad (\text{П.25})$$

На основе первого равенства (П.25) заключаем, что при (4.15) также

$$\hat{k}_{2i} = 0 \quad i = \overline{1, n/2 - 1}. \quad (\text{П.26})$$

Таким образом, доказано, что решение со значениями (4.15) и (П.26) *существует* для системы (П.2), построенной по аппроксимирующим функциям (4.10). Докажем теперь, что оно является единственным решением этой системы.

По аналогии с (П.3) и (П.6) введём вектора

$$\mathbf{h}_{\alpha_{\mathbf{h}}}^{(i)} = \mathbf{h}_{\alpha}^{(i)} \Big|_{\alpha=\alpha_{\mathbf{h}}} = l_0 \mathbf{h}^{(i)}, \quad \mathbf{h}_{\beta_{\mathbf{h}}}^{(i)} = \mathbf{h}_{\beta}^{(i)} \Big|_{\beta=\beta_{\mathbf{h}}} = (-1)^i \sum_{q=0}^{n/2-1} l_{2q+1} \mathbf{h}^{(2q+1+i)} \quad i = \overline{1, n}, \quad (\text{П.27})$$

и построим по ним матрицу

$$M_n = \begin{pmatrix} \bar{M}_n & 0 & \bar{M}_{\alpha_{\mathbf{h}}} & \tilde{M}_{\beta_{\mathbf{h}}} \\ 0 & \tilde{M}_n & \bar{M}_{\beta_{\mathbf{h}}} & \tilde{M}_{\alpha_{\mathbf{h}}} \end{pmatrix}, \quad (\text{П.28})$$

в которой

$$\begin{aligned} \bar{M}_n &= \begin{bmatrix} \mathbf{h}^{(0)} & , & \mathbf{h}^{(2)} & , & \dots & , & \mathbf{h}^{(n-2)} \end{bmatrix}; \\ \tilde{M}_n &= \begin{bmatrix} \mathbf{h}^{(1)} & , & \mathbf{h}^{(3)} & , & \dots & , & \mathbf{h}^{(n-1)} \end{bmatrix}; \\ \bar{M}_{\alpha_{\mathbf{h}}} &= - \begin{bmatrix} l_0 \mathbf{h}^{(2)} & , & l_0 \mathbf{h}^{(4)} & , & \dots & , & l_0 \mathbf{h}^{(n)} \end{bmatrix}; \\ \tilde{M}_{\alpha_{\mathbf{h}}} &= - \begin{bmatrix} l_0 \mathbf{h}^{(1)} & , & l_0 \mathbf{h}^{(3)} & , & \dots & , & l_0 \mathbf{h}^{(n-1)} \end{bmatrix}; \\ \bar{M}_{\beta_{\mathbf{h}}} &= - \begin{bmatrix} \sum_{q=0}^{n/2-1} l_{2q+1} \mathbf{h}^{(2q+3)} & , & \sum_{q=0}^{n/2-1} l_{2q+1} \mathbf{h}^{(2q+5)} & , & \dots & , & \sum_{q=0}^{n/2-1} l_{2q+1} \mathbf{h}^{(2q+n+1)} \end{bmatrix}; \\ \tilde{M}_{\beta_{\mathbf{h}}} &= \begin{bmatrix} \sum_{q=0}^{n/2-1} l_{2q+1} \mathbf{h}^{(2q+2)} & , & \sum_{q=0}^{n/2-1} l_{2q+1} \mathbf{h}^{(2q+4)} & , & \dots & , & \sum_{q=0}^{n/2-1} l_{2q+1} \mathbf{h}^{(2q+n)} \end{bmatrix}. \end{aligned} \quad (\text{П.29})$$

Элементарным преобразованием

$$\begin{pmatrix} \tilde{M}_{\beta_{\mathbf{h}}} \\ \tilde{M}_{\alpha_{\mathbf{h}}} \end{pmatrix} + l_0 \begin{pmatrix} 0 \\ \tilde{M}_n \end{pmatrix} = \begin{pmatrix} \tilde{M}_{\beta_{\mathbf{h}}} \\ 0 \end{pmatrix}$$

столбцов матрицы (П.28) получим эквивалентную матрицу

$$M_n^{(1)} = \begin{pmatrix} \bar{M}_n & 0 & \bar{M}_{\alpha_{\mathbf{h}}} & \tilde{M}_{\beta_{\mathbf{h}}} \\ 0 & \tilde{M}_n & \bar{M}_{\beta_{\mathbf{h}}} & 0 \end{pmatrix}, \quad (\text{П.30})$$

определитель которой

$$\det M_n^{(1)} = - \det \begin{pmatrix} \bar{M}_n & \tilde{M}_{\beta_{\mathbf{h}}} \\ \tilde{M}_n & \bar{M}_{\beta_{\mathbf{h}}} \end{pmatrix} \det \begin{pmatrix} \tilde{M}_n & \bar{M}_{\beta_{\mathbf{h}}} \\ \bar{M}_{\alpha_{\mathbf{h}}} & \tilde{M}_{\beta_{\mathbf{h}}} \end{pmatrix}. \quad (\text{П.31})$$

Нетрудно проверить, что

$$\begin{aligned} &\det \left( \bar{M}_n \mid \tilde{M}_{\beta_{\mathbf{h}}} \right) = \\ &= \det \left( \mathbf{h}^{(0)} \ \mathbf{h}^{(2)} \ \dots \ \mathbf{h}^{(n-2)} \mid \sum_{q=0}^{n/2-1} l_{2q+1} \mathbf{h}^{(2q+2)} \ \sum_{q=0}^{n/2-1} l_{2q+1} \mathbf{h}^{(2q+4)} \ \dots \ \sum_{q=0}^{n/2-1} l_{2q+1} \mathbf{h}^{(2q+n)} \right) = \\ &= \det \left( \mathbf{h}^{(0)} \ \mathbf{h}^{(2)} \ \dots \ \mathbf{h}^{(n-2)} \mid l_{n-1} \mathbf{h}^{(n)} \ l_{n-1} \mathbf{h}^{(n+2)} \ \dots \ l_{n-1} \mathbf{h}^{(2n-2)} \right) \neq 0. \end{aligned} \quad (\text{П.32})$$

Последний определитель отличен от нуля как определитель Вандермонда.

Аналогично получим, что

$$\begin{aligned} & \det \left( \begin{array}{c} \tilde{M}_n \\ \bar{M}_{\beta_n} \end{array} \right) = \\ & = \det \left( \begin{array}{c} \mathbf{h}^{(1)} \quad \mathbf{h}^{(3)} \quad \dots \quad \mathbf{h}^{(n-1)} \\ -\sum_{q=0}^{n/2-1} l_{2q+1} \mathbf{h}^{(2q+3)} \quad -\sum_{q=0}^{n/2-1} l_{2q+1} \mathbf{h}^{(2q+5)} \quad \dots \quad -\sum_{q=0}^{n/2-1} l_{2q+1} \mathbf{h}^{(2q+n+1)} \end{array} \right) = \\ & = \det \left( \begin{array}{c} \mathbf{h}^{(1)} \quad \mathbf{h}^{(3)} \quad \dots \quad \mathbf{h}^{(n-1)} \\ -l_{n-1} \mathbf{h}^{(n+1)} \quad -l_{n-1} \mathbf{h}^{(n+3)} \quad \dots \quad -l_{n-1} \mathbf{h}^{(2n-1)} \end{array} \right) \neq 0. \quad (\text{П.33}) \end{aligned}$$

Отсюда следует *единственность* решения со значениями (4.15) и (П.26) системы (П.2), построенной по аппроксимирующим функциям (4.10).  $\blacksquare$

Когда  $n$  – нечётное, доказательство аналогично. Однако оно значительно сложнее и поэтому опущено. Сложность его вызвана тем, что решение частотных уравнений (П.2) с (4.14) не имеет столь простого вида (П.26). Для доказательства равенства (4.15) формируется матрица  $M_n^{(2)}$ , получаемая из матрицы  $M_n$  после замены первого столбца блока  $\begin{pmatrix} \bar{M}_{\alpha_n} \\ \bar{M}_{\beta_n} \end{pmatrix}$  столбцом правых частей уравнения (П.7). Доказано, что  $\det M_n^{(2)} \neq 0$ . Затем доказано, что  $\det M_n \neq 0$ . Сложность доказательства последнего связана с тем, что блоки  $\begin{pmatrix} \bar{M}_n & \tilde{M}_{\beta_n} \end{pmatrix}$  и  $\begin{pmatrix} \tilde{M}_n & \bar{M}_{\beta_n} \end{pmatrix}$  неквадратные при нечётном  $n$ .  $\blacksquare$

## П.6 Доказательство свойства 3

Из соотношений (П.8) и (П.10) очевидно, что  $\alpha_k \neq 0$  и  $\beta_k \neq 0$  ( $k = \overline{1, n}$ ) для любого набора испытательных частот  $\omega_k \in \Omega_\epsilon$  ( $k = \overline{1, n}$ ).

Справедливость же свойства 3 для относительных ошибок фильтрации устанавливается простой подстановкой (4.22) и (4.7) в соотношение (4.23). После несложных преобразований получим

$$\begin{aligned} \frac{\alpha_k^\epsilon - \alpha_k}{\alpha_k} &= \frac{1}{\omega_k^2} \left[ \frac{\left( \sum_{q=\frac{n}{2}}^{n-1} \frac{l_{2q}}{\omega_k^{2(n-q-1)}} \right) \left( \sum_{q=0}^{n-1} \frac{m_q}{\omega_k^{2(n-q-1)}} \right) - m_n \sum_{q=0}^{\frac{n}{2}-1} \frac{l_{2q}}{\omega_k^{2(n-q-2)}}}{m_n \sum_{q=0}^{n-1} \frac{l_{2q}}{\omega_k^{2(n-q-1)}}} \right], \\ \frac{\beta_k^\epsilon - \beta_k}{\beta_k} &= \frac{1}{\omega_k^2} \left[ \frac{l_{2n-1} \sum_{q=0}^{n-1} \frac{m_q}{\omega_k^{2(n-q-1)}} - m_n \sum_{q=0}^{n-2} \frac{l_{2q+1}}{\omega_k^{2(n-q-2)}}}{m_n \sum_{q=0}^{n-1} \frac{l_{2q+1}}{\omega_k^{2(n-q-1)}}} \right] \quad k = \overline{1, n}. \end{aligned} \quad (\text{П.34})$$

Нетрудно видеть, что дробно-рациональные функции в квадратных скобках ограничены для любых  $\omega_k \in \Omega_\epsilon$  ( $k = \overline{1, n}$ ) если  $l_{2n-1} \neq 0$  и  $l_{2n-2} \neq 0$  ( $d_n k_{n-1} \neq 0$  и  $d_n k_{n-2} \neq d_{n-1} k_{n-1}$ ). Поэтому всегда можно найти (достаточно большие) частоты  $\omega_k \in \Omega_\epsilon$  ( $k = \overline{1, n}$ ) для которых выполняются неравенства (4.23).

## П.7 Доказательство свойства 4

По аналогии с (П.3) и (П.6) введём вектора

$$\mathbf{h}_{\alpha_n}^{(i)} = \mathbf{h}_\alpha^{(i)} \Big|_{\alpha=\alpha_n} = \sum_{q=n/2}^{n-1} \bar{l}_{2q} \mathbf{h}^{(2(q-n)+i)}, \quad \mathbf{h}_{\beta_n}^{(i)} = \mathbf{h}_\beta^{(i)} \Big|_{\beta=\beta_n} = (-1)^i \bar{l}_{2n-1} \mathbf{h}^{(i-1)} \quad i = \overline{0, n}, \quad (\text{П.35})$$

и построим по ним матрицу

$$M_6 = \begin{pmatrix} \bar{M}_6 & 0 & \bar{M}_{\alpha_B} & \tilde{M}_{\beta_B} \\ 0 & \tilde{M}_6 & \bar{M}_{\beta_B} & \tilde{M}_{\alpha_B} \end{pmatrix}, \quad (\text{П.36})$$

в которой

$$\begin{aligned} \bar{M}_6 &= \begin{bmatrix} \mathbf{h}^{(0)} & , & \mathbf{h}^{(2)} & , & \dots & , & \mathbf{h}^{(n-2)} \end{bmatrix}; \\ \tilde{M}_6 &= \begin{bmatrix} \mathbf{h}^{(1)} & , & \mathbf{h}^{(3)} & , & \dots & , & \mathbf{h}^{(n-1)} \end{bmatrix}; \\ \bar{M}_{\beta_B} &= - \begin{bmatrix} \bar{l}_{2n-1} \mathbf{h}^{(1)} & , & \bar{l}_{2n-1} \mathbf{h}^{(3)} & , & \dots & , & \bar{l}_{2n-1} \mathbf{h}^{(n-1)} \end{bmatrix}; \\ \tilde{M}_{\beta_B} &= \begin{bmatrix} \bar{l}_{2n-1} \mathbf{h}^{(0)} & , & \bar{l}_{2n-1} \mathbf{h}^{(2)} & , & \dots & , & \bar{l}_{2n-1} \mathbf{h}^{(n-2)} \end{bmatrix}; \\ \bar{M}_{\alpha_B} &= - \begin{bmatrix} \sum_{q=n/2}^{n-1} \bar{l}_{2q} \mathbf{h}^{(2(q-n)+2)} & , & \sum_{q=n/2}^{n-1} \bar{l}_{2q} \mathbf{h}^{(2(q-n)+4)} & , & \dots & , & \sum_{q=n/2}^{n-1} \bar{l}_{2q} \mathbf{h}^{(2q-n)} \end{bmatrix}; \\ \tilde{M}_{\alpha_B} &= - \begin{bmatrix} \sum_{q=n/2}^{n-1} \bar{l}_{2q} \mathbf{h}^{(2(q-n)+1)} & , & \sum_{q=n/2}^{n-1} \bar{l}_{2q} \mathbf{h}^{(2(q-n)+3)} & , & \dots & , & \sum_{q=n/2}^{n-1} \bar{l}_{2q} \mathbf{h}^{(2q-n-1)} \end{bmatrix}. \end{aligned} \quad (\text{П.37})$$

Последний столбец блока  $\begin{pmatrix} \bar{M}_{\alpha_B} \\ \bar{M}_{\beta_B} \end{pmatrix}$  имеет вид

$$\begin{bmatrix} \mathbf{h}_{\alpha_B}^{(n)} \\ \mathbf{h}_{\beta_B}^{(n)} \end{bmatrix} = - \begin{bmatrix} \bar{l}_n \mathbf{h}^{(0)} + \bar{l}_{n+2} \mathbf{h}^{(2)} + \dots + \bar{l}_{2n-2} \mathbf{h}^{(n-2)} \\ \bar{l}_{2n-1} \mathbf{h}^{(n-1)} \end{bmatrix}. \quad (\text{П.38})$$

Нетрудно проверить, что он является линейной комбинацией столбцов блоков  $\begin{pmatrix} \bar{M}_6 \\ 0 \end{pmatrix}$  и  $\begin{pmatrix} 0 \\ \tilde{M}_6 \end{pmatrix}$ , и поэтому

$$\det M_6 = 0. \quad (\text{П.39})$$

Заменим (П.38) столбцом

$$\begin{bmatrix} \mathbf{h}_{\alpha_B}^{(0)} \\ \mathbf{h}_{\beta_B}^{(0)} \end{bmatrix} = \begin{bmatrix} \bar{l}_n \mathbf{h}^{(-n)} + \bar{l}_{n+2} \mathbf{h}^{(2-n)} + \dots + \bar{l}_{2n-2} \mathbf{h}^{(-2)} \\ \bar{l}_{2n-1} \mathbf{h}^{(-1)} \end{bmatrix} \quad (\text{П.40})$$

правых частей уравнения (П.7). Матрицу (П.36) и соответствующие блоки после такой замены обозначим как

$$N_6 = \begin{pmatrix} \bar{M}_6 & 0 & \bar{N}_{\alpha_B} & \tilde{M}_{\beta_B} \\ 0 & \tilde{M}_6 & \bar{N}_{\beta_B} & \tilde{M}_{\alpha_B} \end{pmatrix}. \quad (\text{П.41})$$

Элементарным преобразованием

$$\begin{pmatrix} \tilde{M}_{\beta_B} \\ \tilde{M}_{\alpha_B} \end{pmatrix} - \bar{l}_{2n-1} \begin{pmatrix} \bar{M}_6 \\ 0 \end{pmatrix} = \begin{pmatrix} 0 \\ \tilde{M}_{\alpha_B} \end{pmatrix}$$

столбцов матрицы (П.41) получим эквивалентную матрицу

$$N_6^{(1)} = \begin{pmatrix} \bar{M}_6 & 0 & \bar{N}_{\alpha_B} & 0 \\ 0 & \tilde{M}_6 & \bar{N}_{\beta_B} & \tilde{M}_{\alpha_B} \end{pmatrix}, \quad (\text{П.42})$$

определитель которой

$$\det N_6^{(1)} = - \det \begin{pmatrix} \bar{M}_6 & \bar{N}_{\alpha_B} \end{pmatrix} \det \begin{pmatrix} \tilde{M}_6 & \tilde{M}_{\alpha_B} \end{pmatrix}. \quad (\text{П.43})$$

Нетрудно проверить, что

$$\begin{aligned}
& \det \left( \bar{M}_\varepsilon \mid \bar{N}_{\alpha_b} \right) = \\
& = \det \left( \mathbf{h}^{(0)} \ \mathbf{h}^{(2)} \ \dots \ \mathbf{h}^{(n-2)} \ \middle| \ \begin{array}{c} \sum_{q=n/2}^{n-1} \bar{l}_{2q} \mathbf{h}^{(2(q-n)+2)} \ \dots \ \sum_{q=n/2}^{n-1} \bar{l}_{2q} \mathbf{h}^{(2q-n-2)} \\ \sum_{q=n/2}^{n-1} \bar{l}_{2q} \mathbf{h}^{(2(q-n))} \end{array} \right) = \\
& = \det \left( \mathbf{h}^{(0)} \ \mathbf{h}^{(2)} \ \dots \ \mathbf{h}^{(n-2)} \ \middle| \ -\bar{l}_n \mathbf{h}^{(2-n)} \ \dots \ -\bar{l}_n \mathbf{h}^{(-2)} \ \middle| \ \bar{l}_n \mathbf{h}^{(-n)} \right) \neq 0. \quad (\text{П.44})
\end{aligned}$$

Последний определитель отличен от нуля как определитель Вандермонда.

Аналогично получим, что

$$\begin{aligned}
& \det \left( \tilde{M}_\varepsilon \mid \tilde{M}_{\alpha_b} \right) = \\
& = \det \left( \mathbf{h}^{(1)} \ \mathbf{h}^{(3)} \ \dots \ \mathbf{h}^{(n-1)} \ \middle| \ \begin{array}{c} \sum_{q=n/2}^{n-1} \bar{l}_{2q} \mathbf{h}^{(2(q-n)+1)} \ \dots \ \sum_{q=n/2}^{n-1} \bar{l}_{2q} \mathbf{h}^{(2(q-n)+3)} \ \dots \ \sum_{q=n/2}^{n-1} \bar{l}_{2q} \mathbf{h}^{(2q-n-1)} \\ \sum_{q=n/2}^{n-1} \bar{l}_{2q} \mathbf{h}^{(2(q-n)+1)} \end{array} \right) = \\
& = \det \left( \mathbf{h}^{(1)} \ \mathbf{h}^{(3)} \ \dots \ \mathbf{h}^{(n-1)} \ \middle| \ -\bar{l}_n \mathbf{h}^{(1-n)} \ \dots \ -\bar{l}_n \mathbf{h}^{(3-n)} \ \dots \ -\bar{l}_n \mathbf{h}^{(-1)} \right) \neq 0. \quad (\text{П.45})
\end{aligned}$$

Неравенства (П.44), (П.45) вместе с равенством (П.39) доказывают свойство 4.  $\blacksquare$

## П.8 Доказательство утверждения 8

Запишем уравнение объекта (2.1) в форме Коши

$$\dot{\mathbf{x}} = A\mathbf{x} + \mathbf{b}u + \boldsymbol{\psi}f, \quad y = \mathbf{c}^T \mathbf{x}. \quad (\text{П.46})$$

Решение этого уравнения с учётом (6.21) и (П.12) имеет вид

$$\begin{aligned}
y(t) &= \mathbf{c}^T e^{A(t-t_0)} \boldsymbol{\phi} + \rho e^{\lambda(t-t_0)} \left[ \alpha \sin \omega (t-t_0) + \beta \cos \omega (t-t_0) \right] + \\
&+ \sum_{k=1}^{2n} \rho_k^f \left[ \alpha_k^f \sin \omega_k^f (t-t_0) + \beta_k^f \cos \omega_k^f (t-t_0) \right], \quad (\text{П.47})
\end{aligned}$$

где  $\boldsymbol{\phi} = \mathbf{x}(t_0) + \rho \omega [E\omega^2 + (E\lambda - A)^2]^{-1} \mathbf{b} + \sum_{k=1}^{2n} \rho_k^f \omega_k^f (E\omega_k^{2f} + A^2)^{-1} \boldsymbol{\psi}$ ;

$$\begin{aligned}
\alpha &= \operatorname{Re} w(s), \quad \beta = \operatorname{Im} w(s), \quad w(s) = \mathbf{c}^T (Es - A)^{-1} \mathbf{b}, \quad s = \lambda + j\omega; \\
\alpha_k^f &= \operatorname{Re} w^f(s_k^f), \quad \beta_k^f = \operatorname{Im} w^f(s_k^f), \quad w^f(s_k^f) = \mathbf{c}^T (Es_k^f - A)^{-1} \boldsymbol{\psi}, \quad s_k^f = j\omega_k^f \quad (k = \overline{1, 2n}).
\end{aligned}$$

Для простоты предположим, что  $n \times n$  матрица  $A$  имеет различные собственные числа  $s_k^* = a_k^* + j\omega_k^*$  ( $k = \overline{1, n}$ ). Тогда первое слагаемое  $y^*(t) = \mathbf{c}^T e^{A(t-t_0)} \boldsymbol{\phi}$  – выражения (П.47) запишем в виде

$$y^*(t) = \sum_{k=1}^n e^{a_k^*(t-t_0)} [\rho_k^s \sin \omega_k^*(t-t_0) + \rho_k^c \cos \omega_k^*(t-t_0)]. \quad (\text{П.48})$$

Подставим его в модифицированный фильтр Фурье (2.11), преобразованный для одной пары оценок частотных параметров к виду

$$\begin{aligned}
\alpha^*(\tau) &= \frac{2}{\rho\tau} \int_{t_F}^{t_F+\tau} y^*(t) e^{-\lambda(t-t_0)} \sin \omega(t-t_0) dt, \\
\beta^*(\tau) &= \frac{2}{\rho\tau} \int_{t_F}^{t_F+\tau} y^*(t) e^{-\lambda(t-t_0)} \cos \omega(t-t_0) dt. \quad (\text{П.49})
\end{aligned}$$

В результате получим

$$\alpha^*(\tau) = \frac{2}{\rho\tau} \sum_{k=1}^n [\rho_k^s (\varrho_k^{ss} \varphi_k^{ss} - \varrho_k^{sc} \varphi_k^{sc} - \varrho_k^{cs} \varphi_k^{cs} + \varrho_k^{cc} \varphi_k^{cc}) + \rho_k^c (\varrho_k^{ss} \varphi_k^{cs} - \varrho_k^{sc} \varphi_k^{cc} + \varrho_k^{cs} \varphi_k^{ss} - \varrho_k^{cc} \varphi_k^{sc})],$$

$$\beta^*(\tau) = \frac{2}{\rho\tau} \sum_{k=1}^n [\rho_k^s (\varrho_k^{ss} \varphi_k^{sc} + \varrho_k^{sc} \varphi_k^{ss} - \varrho_k^{cs} \varphi_k^{cc} - \varrho_k^{cc} \varphi_k^{cs}) + \rho_k^c (\varrho_k^{ss} \varphi_k^{cc} + \varrho_k^{sc} \varphi_k^{cs} + \varrho_k^{cs} \varphi_k^{sc} + \varrho_k^{cc} \varphi_k^{ss})];$$

где

$$\varrho_k^{ss} = (a_k^* - \lambda) \frac{(a_k^* - \lambda)^2 + \omega_k^{2*} + \omega^2}{[(a_k^* - \lambda)^2 + \omega_k^{2*} + \omega^2]^2 - (2\omega_k^* \omega)^2}, \quad \varrho_k^{sc} = \omega \frac{(a_k^* - \lambda)^2 - \omega_k^{2*} + \omega^2}{[(a_k^* - \lambda)^2 + \omega_k^{2*} + \omega^2]^2 - (2\omega_k^* \omega)^2},$$

$$\varrho_k^{cs} = \omega_k^* \frac{(a_k^* - \lambda)^2 + \omega_k^{2*} - \omega^2}{[(a_k^* - \lambda)^2 + \omega_k^{2*} + \omega^2]^2 - (2\omega_k^* \omega)^2}, \quad \varrho_k^{cc} = 2 \frac{(a_k^* - \lambda) \omega_k^* \omega}{[(a_k^* - \lambda)^2 + \omega_k^{2*} + \omega^2]^2 - (2\omega_k^* \omega)^2};$$

$$\varphi_k^{ss} = e^{(a_k^* - \lambda)(t_F + \tau - t_0)} \sin \omega_k^*(t_F + \tau - t_0) \sin \omega(t_F + \tau - t_0) -$$

$$e^{(a_k^* - \lambda)(t_F - t_0)} \sin \omega_k^*(t_F - t_0) \sin \omega(t_F - t_0),$$

$$\varphi_k^{sc} = e^{(a_k^* - \lambda)(t_F + \tau - t_0)} \sin \omega_k^*(t_F + \tau - t_0) \cos \omega(t_F + \tau - t_0) -$$

$$e^{(a_k^* - \lambda)(t_F - t_0)} \sin \omega_k^*(t_F - t_0) \cos \omega(t_F - t_0),$$

$$\varphi_k^{cs} = e^{(a_k^* - \lambda)(t_F + \tau - t_0)} \cos \omega_k^*(t_F + \tau - t_0) \sin \omega(t_F + \tau - t_0) -$$

$$e^{(a_k^* - \lambda)(t_F - t_0)} \cos \omega_k^*(t_F - t_0) \sin \omega(t_F - t_0),$$

$$\varphi_k^{cc} = e^{(a_k^* - \lambda)(t_F + \tau - t_0)} \cos \omega_k^*(t_F + \tau - t_0) \cos \omega(t_F + \tau - t_0) -$$

$$e^{(a_k^* - \lambda)(t_F - t_0)} \cos \omega_k^*(t_F - t_0) \cos \omega(t_F - t_0).$$

Нетрудно видеть, что функции  $\varphi_k^{ss}(\lambda)$ ,  $\varphi_k^{sc}(\lambda)$ ,  $\varphi_k^{cs}(\lambda)$  и  $\varphi_k^{cc}(\lambda)$  ( $k = \overline{1, n}$ ) растут экспоненциально при  $0 < \lambda < s^* = \max\{a_1^*, a_2^*, \dots, a_n^*\}$ , в то время как их сомножители  $\varrho_k^{ss}(\lambda)$ ,  $\varrho_k^{sc}(\lambda)$ ,  $\varrho_k^{cs}(\lambda)$  и  $\varrho_k^{cc}(\lambda)$  ( $k = \overline{1, n}$ ) уменьшаются в лучшей степени как  $\lambda^{-3}$ . Поэтому при  $0 < \lambda < s^*$  всегда существует такой момент времени  $\tau_{\lambda}^{**}$ , что

$$|\alpha^*(\tau) - \alpha^*(\tau - T_\delta)| > \varepsilon_\lambda^\alpha, \quad |\beta^*(\tau) - \beta^*(\tau - T_\delta)| > \varepsilon_\lambda^\beta, \quad \tau > \tau_{\lambda}^{**}.$$

Так как слагаемые  $\alpha^*(\tau)$  и  $\beta^*(\tau)$  оценок частотных параметров ограничены при  $\lambda > 0$ , всегда существует такой момент времени  $\tau_\lambda^*$ , начиная с которого условия (6.22) также нарушаются, что доказывает утверждение 8. ■

## Литература

- [1] *Льюнг Л.* Идентификация систем. Теория для пользователя. -М.: Наука. 1991. 432 С.
- [2] *Граничин О.Н., Поляк Б.Т.* Рандомизированные алгоритмы оценивания и оптимизации при почти произвольных помехах. -М.: Наука. 2003. 291 С.
- [3] *Александров А.Г.* Метод частотных параметров // Автоматика и телемеханика. 1989. Т. 50. № 12. С. 3-15.
- [4] *Александров А.Г.* Адаптивное управление на основе идентификации частотных характеристик // Известия РАН: «Теория и системы управления». 1995. № 2. С. 63-71.
- [5] *Александров А.Г.* Конечно-частотная идентификация: границы частот испытательного сигнала // Автоматика и телемеханика. 2001. Т. 62. № 11. С. ???-???

- [6] *Александров А.Г.* Частотное адаптивное управление устойчивым объектом при неизвестном ограниченном возмущении // Автоматика и телемеханика. 2000. Т. 61. № 4. С. 106-116.
- [7] *Alexandrov A.G.* Finite-frequency identification: model validation and bounded test signal // 13-th World Congress of IFAC. San-Francisco, USA. Preprints. 1996. V. I. P. 393-398.
- [8] *Александров А.Г.* Частотные регуляторы // Автоматика и телемеханика. 1991. Т. 52. № 1. С. 22-33.
- [9] *Graebe S.F.* Robust and adaptive control of an unknown plant: A benchmark of new format // 12-th World Congress of IFAC. Sydney, Australia. Preprints. 1993. V. III. P. 165-170.
- [10] *Орлов Ю.Ф.* Пакет прикладных программ «АДАПЛАБ». Часть 1. Частотное адаптивное управление // Сб. научных трудов: «Частотное управление». -М.: МИСиС. 1994. С. 71-98.